

# 1 ELEKTROMAGNETICKE VLNY

# FYZIKA III (OPTIKA)

Maxwellovy rovnice:  $\text{div } \vec{j} + \text{div } \vec{j} = 0$

MAXWELLOVY ROVNICE (dif. tv. ve volném prostoru s volnými náboji a volnými proudy)

$\text{div } \vec{E} = \frac{\rho}{\epsilon_0}$  (Gaussov zákon)  $\text{div } \vec{B} = 0$  (neprotok magnetického pole)  $\text{rot } \vec{E} = -\frac{\partial \vec{B}}{\partial t}$  (Faradayův zákon indukce)  $\text{rot } \vec{B} = \mu_0 \vec{j} + \mu_0 \epsilon_0 \frac{\partial \vec{E}}{\partial t}$  (Ampérův zákon)

$\epsilon_0 = 8,85 \cdot 10^{-12} \text{ F m}^{-1}$   $\mu_0 = 4\pi \cdot 10^{-7} \text{ H m}^{-1} = \text{NA}^{-2}$   $[j] = \text{A m}^{-2}$   
 Lorentzova síla:  $\vec{F} = \vec{F}_E + \vec{F}_B = q(\vec{E} + \vec{v} \times \vec{B})$  (Hj. síla působí na jedn. objemu)  $\vec{F} = \vec{F}_E + \vec{F}_B = \rho \vec{E} + \vec{j} \times \vec{B}$  (objemová hust. Lorentzovy síly)

Vlnová rovnice (ve vakuu)  $\Delta \vec{E} = \epsilon_0 \mu_0 \frac{\partial^2 \vec{E}}{\partial t^2}$   $\text{rot rot } \vec{E} = \text{grad div } \vec{E} - \Delta \vec{E} = -\frac{\partial \text{rot } \vec{B}}{\partial t} = -\mu_0 \frac{\partial \vec{j}}{\partial t} - \epsilon_0 \mu_0 \frac{\partial^2 \vec{E}}{\partial t^2}$   
 - již známí z mechaniky  $\Delta \vec{u} = \frac{1}{v^2} \frac{\partial^2 \vec{u}}{\partial t^2}$  → rychlost světla  $c = \frac{1}{\sqrt{\epsilon_0 \mu_0}} \approx 3 \cdot 10^8 \text{ m s}^{-1}$  (velikost vlnového vektoru)  $k = \frac{2\pi}{\lambda}$   
 - řešení vlnové rovnice = VLNA (monochromatická), uvaž.  $f(z \pm vt)$  je řešením  
 - postupně rovinné harm. vlny  $\vec{E} = \vec{E}_0 \cos[k(z \pm vt) + \phi] = \vec{E}_0 \cos(kz \pm \omega t + \phi) = \vec{E}_0 \cos(kz \pm \frac{2\pi}{T} t + \phi) = \vec{E}_0 \cos(kz \pm \omega t)$  (1D případ)

$\vec{k} \cdot \vec{r} = \text{konst.}$  VLNOVÁ PLOCHA (Hj. rovinná konst. fáze)  $\vec{E} = \vec{E}_0 e^{i(\vec{k} \cdot \vec{r} - \omega t)}$  (komplexní popis)  $\vec{E}_0 = \vec{E}_0 e^{i\phi}$  (komplexní amplituda)  $\vec{E}_0 = \vec{E}_0 e^{i\phi}$  (reálná amplituda)  
 - vlnový vektor,  $\phi$  - počáteční úhel fáze vlny v bodě  $\vec{r}=0, t=0$

Vlnová rovnice (nehomogenní prostředí)  $\Delta \vec{E} = \text{grad div } \vec{P} + \text{grad div } \vec{E}_0 + \mu_0 \frac{\partial \vec{j}}{\partial t} + \mu_0 \frac{\partial^2 \vec{P}}{\partial t^2} + \epsilon_0 \mu_0 \frac{\partial^2 \vec{E}}{\partial t^2}$   
 - neabsorbující dielektrikum bez volných nábojů a proudů  $\vec{P} = \epsilon_0 \chi \vec{E} + \epsilon_0 \chi^{(2)} \vec{E}^2 + \dots$   
 - homogenní pr. = materiálové parametry nezávislé na poloze  $\vec{P} = \epsilon_0 \chi \vec{E} + \epsilon_0 \chi^{(2)} \vec{E}^2 + \dots$   
 - izotropní = parametry závislé pouze na směru vln  $\vec{P} = \epsilon_0 \chi \vec{E} + \epsilon_0 \chi^{(2)} \vec{E}^2 + \dots$

index lomu:  $n = \frac{c}{v} = \sqrt{\epsilon_r}$   $k = \frac{n}{c} \omega$   
 - neprotok magnetického pole  $\text{div } \vec{P} = 0$

impedance prostředí  $Z = \sqrt{\frac{\mu_0}{\epsilon_0 \epsilon_r}}$   $Z_0 = \sqrt{\frac{\mu_0}{\epsilon_0}} \approx 377 \Omega$   
 Energie rovinné monochromatické vlny (pro neabsorbující prostředí)  $\langle U_E \rangle_T = \frac{1}{2} \epsilon_0 \epsilon_r E_0^2$   $\langle U_B \rangle_T = \frac{1}{2} \epsilon_0 \epsilon_r E_0^2 = \langle U_E \rangle_T$

Poyntingův vektor:  $\vec{S} = \vec{E} \times \vec{H}$   $\langle S \rangle_T = \langle U_E \rangle_T = I$  (intenzita vlny)  
 - vlna = energie / čas = u · objem / čas = u A c t / t = u c = u c

Tlak světla (impulsní moment částicového modelu) energie  $E = h\nu = h\omega$   $\rho = \frac{h\nu}{c}$  (foton)  $P = N \frac{E}{c}$  (pro případ úplné absorpce)

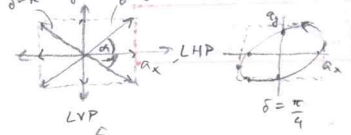
Kulová vlna - hez. vektorová kulová vlna vyhovující Max. rovnici  $\Delta \vec{E} = -k^2 \vec{E}$  (skalární kulová vlna)  $\psi = f(r \pm vt)$  (expandující se + smršťující se)  $\psi(r,t) = \frac{A}{r} \cos(kr \pm \omega t \pm \phi)$  (spec. harmonická vlna)

## 2. POLARIZACE (rovinná monochr. vlny)

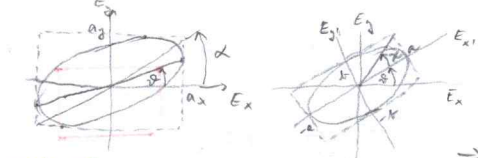
např. laser

popisuje směr kmitání  $\vec{E}$  a jeho vlnový vektor v čase a prostoru předpověditelným způsobem (deterministicky) ... světlo polarizované  
 světlo částečně polarizované = směs pol. a nepol. světla vlnový vektor zcela náhodný (stochasticky) ... světlo nepolarizované  
 (žárovka + laser)

neabsorbující, izotropní prostředí bez lineárního a křehového dvojlomu:  $\vec{k} \perp \vec{E} \perp \vec{H}$   
 skládá se z 2 lineárně pol. vln:  $\vec{E}_x = a_x e^{i(kz - \omega t)}$  ... LHP (lineárně horizontálně pol. světlo)  
 $\vec{E}_y = a_y e^{i(kz - \omega t + \delta)}$  ... LVP (lineárně vertikálně pol. světlo)  
 $\vec{E}$  popisuje obecně pomocí eliptického vektoru II s osou z



LEP (levotočivá eliptická pol. vlna) např.  $\delta = \frac{\pi}{4}$   
 REP (pravotočivá eliptická pol. vlna)  $\delta = -\frac{\pi}{4}$   
 pokud zafixujeme polohu z dostáváme v rov. xy parametrické vyjádření elipsy = trajektorie koncových bodů vektoru  $\vec{E}(t)$  pro dané z  
 levo a pravotočivost vidíme při pohledu proti směru šíření



polarizační elipsa:

$$\left(\frac{E_x}{a_x}\right)^2 - 2\left(\frac{E_x}{a_x}\right)\left(\frac{E_y}{a_y}\right)\cos\delta + \left(\frac{E_y}{a_y}\right)^2 = \sin^2\delta$$

elipsa obecně natičena vlny x, y ziskána vyhlazením z, t z rovinné vlny

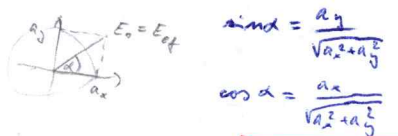
popis elipsy:  
 a) ... hlavní a vedlejší poloosa  
 b) ... úhel natočení hlavní poloosy vzhledem k souř. soust.  
 c) ... elipticita  
 d) ... úhel natočení opsaného obdélníku

spec. případ  $\delta = \pm \frac{\pi}{2}$   
 $\left(\frac{E_x}{a_x}\right)^2 + \left(\frac{E_y}{a_y}\right)^2 = 1$  ... rovnice elipsy v osové poloze  
 pokud  $a_x = a_y \Rightarrow$  kruhově polarizovaná vlna

### JONESŮV FORMALISMUS

světlo  $\rightarrow$  Jonesovy vektory  
 pol. prvky  $\rightarrow$  Jonesovy matice

• popis zcela polarizovaného záření  
 (čistě lineární pol. světlo  $\rightarrow$  STOKESŮV FORMALISMUS)  
 vlnový Stokesovy vektory a Muellerovy matice



spec. případy:  
 1)  $\delta = 0 \rightarrow \vec{J} = \begin{pmatrix} \cos\alpha \\ \sin\alpha \end{pmatrix}$   
 2)  $\delta = \pi \rightarrow \vec{J} = \begin{pmatrix} \cos\alpha \\ -\sin\alpha \end{pmatrix}$   
 3) kruhově pol. světlo  $\delta = \frac{\pi}{2} \rightarrow \vec{J} = \frac{1}{\sqrt{2}} \begin{pmatrix} 1 \\ i \end{pmatrix}$  ... LCP (levotočivě kruhově pol.)  
 $\delta = -\frac{\pi}{2} \rightarrow \vec{J} = \frac{1}{\sqrt{2}} \begin{pmatrix} 1 \\ -i \end{pmatrix}$  ... RCP (pravotočivě kruhově pol.)

Jonesův vektor  $\vec{J} = \begin{pmatrix} \cos\alpha \\ \sin\alpha e^{i\delta} \end{pmatrix}$  je jednotkový tj.  $\vec{J} \cdot \vec{J}^* = 1$

Energie lin. pol. světla  $u_E = \frac{1}{2} \epsilon_0 E^2$   
 Energie eliptický pol. sv.  $u_E = \frac{1}{2} \epsilon_0 \vec{E} \cdot \vec{E}^* = \frac{1}{2} \epsilon_0 (E_x E_x^* + E_y E_y^*)$

spec. případy:  
 1)  $\delta = 0 \rightarrow \vec{J} = \begin{pmatrix} \cos\alpha \\ \sin\alpha \end{pmatrix}$   
 2)  $\delta = \pi \rightarrow \vec{J} = \begin{pmatrix} \cos\alpha \\ -\sin\alpha \end{pmatrix}$   
 3) kruhově pol. světlo  $\delta = \frac{\pi}{2} \rightarrow \vec{J} = \frac{1}{\sqrt{2}} \begin{pmatrix} 1 \\ i \end{pmatrix}$  ... LCP (levotočivě kruhově pol.)  
 $\delta = -\frac{\pi}{2} \rightarrow \vec{J} = \frac{1}{\sqrt{2}} \begin{pmatrix} 1 \\ -i \end{pmatrix}$  ... RCP (pravotočivě kruhově pol.)

2 způsoby polarizace  
 1) lineární dichroismus = různá absorpce pro různé směry  
 2) lineární dvojlom  
 WOLLASTONŮV POLARIZÁTOR  
 GLANŮV-THOMPSONŮV POLARIZÁTOR  
 3) odraz (Brewsterův úhel)

### MALUSŮV ZÁK

$I(\theta) = I_0 \cos^2\theta$   
 $I_p = \frac{1}{2} I_0$  - ideální polarizátor propustí polovinu intenzity nepol. světla

skupinový polarizátor na pol. dopadu nepolarizované světlo  
 všechny směry mají stejnou pravděpodobnost  
 $\theta \in [0, 2\pi]$

### Jonesova matice polarizátoru

$\vec{J}_{pol} = \begin{pmatrix} \cos^2\theta & \sin\theta\cos\theta \\ \sin\theta\cos\theta & \cos^2\theta \end{pmatrix}$

čtvrtvlnová destička  $\Delta\phi = \frac{\lambda}{4}$   
 $\vec{J}_{\lambda/4} = \begin{pmatrix} 1 & 0 \\ 0 & e^{i\pi/2} \end{pmatrix} = \begin{pmatrix} 1 & 0 \\ 0 & i \end{pmatrix}$   
 $\Delta\phi = k \Delta x = \frac{2\pi}{\lambda} \Delta x = \frac{\pi}{2}$

### Jonesova matice fyzické destičky (v osové poloze)

$\vec{J}_\varphi = \begin{pmatrix} 1 & 0 \\ 0 & e^{i\varphi} \end{pmatrix}$

polovlnová destička  $\Delta\phi = \frac{\lambda}{2}$   
 $\vec{J}_{\lambda/2} = \begin{pmatrix} 1 & 0 \\ 0 & e^{i\pi} \end{pmatrix} = \begin{pmatrix} 1 & 0 \\ 0 & -1 \end{pmatrix}$   
 $\Delta\phi = \frac{2\pi}{\lambda} \Delta x = \pi$

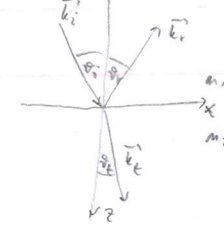
### Jonesova matice rotátoru (v osové poloze)

$\vec{R}(\rho) = \begin{pmatrix} \cos\rho & -\sin\rho \\ \sin\rho & \cos\rho \end{pmatrix}$

rotace vlny o úhel  $\rho$   
 $\vec{E}_{in} = E_0 \begin{pmatrix} \cos\alpha \\ \sin\alpha \end{pmatrix} e^{i\varphi}$   
 $\vec{E}_{out} = E_0 \begin{pmatrix} \cos(\alpha+\rho) \\ \sin(\alpha+\rho) \end{pmatrix} e^{i\varphi}$

### 3 ODRAZ A LOM (na rozhraní dvou dielektrik)

rovinné rozhraní s polohovými vektory  $\vec{r}_B = (x, y, 0) \Rightarrow$  podm. spojitosti  $\vec{E}_{t, \text{levo}}(\vec{r}_B, t) + \vec{E}_{r, \text{levo}}(\vec{r}_B, t) = \vec{E}_{t, \text{pravo}}(\vec{r}_B, t) \quad \forall t$



$\vec{v} = (0, 0, v)$  ... normala k rozhraní  $\vec{E}_{t, \text{levo}} = \vec{v} \times (\vec{E} \times \vec{v}) \Rightarrow \vec{v} \times (\vec{E}_{0i} e^{i(\vec{k}_i \cdot \vec{r}_B - \omega_i t)} \times \vec{v}) + \vec{v} \times (\vec{E}_{0r} e^{i(\vec{k}_r \cdot \vec{r}_B - \omega_r t)} \times \vec{v}) = \vec{v} \times (\vec{E}_{0t} e^{i(\vec{k}_t \cdot \vec{r}_B - \omega_t t)} \times \vec{v})$

rovina dopadu  $(\vec{k}_i, \vec{v}) \dots xz$   $\vec{E}_{0i, t} + f(\vec{r}_B, t)$  všechny členy stejnou fází závislost na  $\vec{r}_B(t) \Rightarrow \vec{k}_i \cdot \vec{r}_B - \omega_i t = \vec{k}_r \cdot \vec{r}_B - \omega_r t = \vec{k}_t \cdot \vec{r}_B - \omega_t t$

$\vec{r}_B = 0 \quad \omega_i t = \omega_r t = \omega_t t \Rightarrow \omega_i = \omega_r = \omega_t$

$t = 0 \quad \vec{k}_i \cdot \vec{r}_B = \vec{k}_r \cdot \vec{r}_B = \vec{k}_t \cdot \vec{r}_B$

$\vec{k}_i = (k_{ix}, 0, k_{iz})$  (rov. dopadu xz)

$\vec{r}_B = (x, y, 0)$  (rozhraní)

$\vec{k}_i \cdot \vec{r}_B = k_{ix} x$

$\vec{k}_r \cdot \vec{r}_B = k_{rx} x + k_{ry} y$

$\vec{k}_t \cdot \vec{r}_B = k_{tx} x + k_{ty} y$

$k_{ix} x = k_{rx} x + k_{ry} y = k_{tx} x + k_{ty} y \quad \forall \vec{r}_B$

$k_{ry} = 0 \Rightarrow k_{ix} = k_{tx}$

$k_{ty} = 0 \Rightarrow k_{iy} = k_{ty}$

$k_{iz} = k_{tz}$

$\vec{k}_r = (k_{rx}, k_{ry}, k_{rz})$

$\vec{k}_t = (k_{tx}, k_{ty}, k_{tz})$

$k_{ix} = k_{tx} = k_{iz} \sin \theta_i$

$k_{iy} = k_{ty} = k_{iz} \sin \theta_t$

$k_{iz} = k_{tz} = k_{iz} \cos \theta_i = k_{iz} \cos \theta_t$

$\Rightarrow \theta_i = \theta_t$

$\vec{k}_i, \vec{k}_r, \vec{k}_t$  leží v rovině dopadu

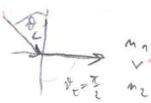
**ZÁKON ODRAZU**  $\theta_i = \theta_r$

**SNELLŮV ZÁKON (ZÁKON LOMU)**

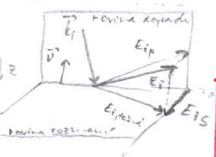
$n_1 \sin \theta_i = n_2 \sin \theta_t$

totalní odraz na opt. řídkším pr.  $\theta_t = \frac{\pi}{2}$  pro  $\theta_i > \theta_c$  ... kritický (mezní) úhel

$\sin \theta_c = \frac{n_2}{n_1}$



### FRESNELOVY VZTAHY



obecná polarizace  $\vec{E}_i$  rozložíme na 2 složky  $\vec{E}_{is}$  ... polarizace s (senkrecht) - kolmá k rovině dopadu  $\vec{E}_{ip}$  ... polarizace p (parallel) - rovnoběžná s rovinou dopadu

Fresnelovy koeficienty (amplitudové) odrazu a transmisí

$\tilde{r}_s = \frac{\tilde{E}_{rs}}{\tilde{E}_{is}} = \frac{|\tilde{E}_{rs}|}{|\tilde{E}_{is}|} e^{i\delta_{rs}}$

$\tilde{r}_p = \frac{\tilde{E}_{rp}}{\tilde{E}_{ip}} = \frac{|\tilde{E}_{rp}|}{|\tilde{E}_{ip}|} e^{i\delta_{rp}}$

$\tilde{t}_s = \frac{\tilde{E}_{ts}}{\tilde{E}_{is}} = \frac{|\tilde{E}_{ts}|}{|\tilde{E}_{is}|} e^{i\delta_{ts}}$

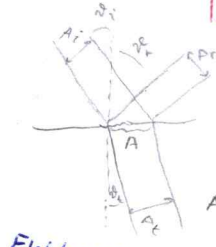
$\tilde{t}_p = \frac{\tilde{E}_{tp}}{\tilde{E}_{ip}} = \frac{|\tilde{E}_{tp}|}{|\tilde{E}_{ip}|} e^{i\delta_{tp}}$

pro redukované amplitudové koef.  $\tilde{r}_s, \tilde{r}_p, \tilde{t}_s, \tilde{t}_p$  platí:  $\delta_{rs} = 0$  nebo  $\pi$  a případně nebs.  $\delta_{rp} = 0$  nebo  $\pi$  (a vyjádření totalní odraz)  $\delta_{ts} = \delta_{tp} = 0$

a  $t_s, r_p, t_s, t_p$  jsou reálná čísla

$r_s = \pm \frac{E_{ots}}{E_{ois}}$   $r_p = \pm \frac{E_{orp}}{E_{oip}}$

$t_s = \frac{E_{ots}}{E_{ois}}$   $t_p = \frac{E_{otp}}{E_{oip}}$



$I_i = \langle S_i \rangle = \frac{1}{2} \epsilon_0 c n_1 E_{oi}^2$

$I_r = \langle S_r \rangle = \frac{1}{2} \epsilon_0 c n_1 E_{or}^2$

$I_t = \langle S_t \rangle = \frac{1}{2} \epsilon_0 c n_2 E_{ot}^2$

$A = \frac{A_i}{\cos \theta_i} = \frac{A_r}{\cos \theta_r} = \frac{A_t}{\cos \theta_t}$

$I = \langle S \rangle = c \langle U \rangle = c \frac{1}{2} \epsilon_0 E_0^2 = \frac{1}{2} \epsilon_0 n^2 c E_0^2$

$2ZE: I_i = I_r + I_t \rightarrow n_1 E_{oi}^2 \cos \theta_i = n_1 E_{or}^2 \cos \theta_r + n_2 E_{ot}^2 \cos \theta_t$

$n_1 \cos \theta_i = n_1 r_p^2 \cos \theta_i + n_2 t_p^2 \cos \theta_t$

$(*) 1 = r_p^2 + \frac{n_2}{n_1} \frac{\cos \theta_t}{\cos \theta_i} t_p^2$

Elektrické pole vln kolmé k rovině dopadu (polarizace s):

$r_s = \frac{n_1 \cos \theta_i - n_2 \cos \theta_t}{n_1 \cos \theta_i + n_2 \cos \theta_t} = \frac{\sin(\theta_t - \theta_i)}{\sin(\theta_t + \theta_i)}$

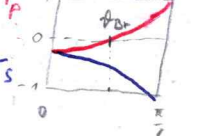
$t_s = 1 + r_s = \frac{2n_1 \cos \theta_i}{n_1 \cos \theta_i + n_2 \cos \theta_t}$

Elektrické pole vln v rovině dopadu (polarizace p):

$r_p = \frac{n_1 \cos \theta_t - n_2 \cos \theta_i}{n_1 \cos \theta_t + n_2 \cos \theta_i} = \frac{\tan(\theta_t - \theta_i)}{\tan(\theta_t + \theta_i)}$

$t_p = (1 + r_p) \frac{\cos \theta_i}{\cos \theta_t} = \frac{2n_1 \cos \theta_i}{n_1 \cos \theta_i + n_2 \cos \theta_t}$

odraz na opt. hustším pr. ( $n_1 < n_2$ )

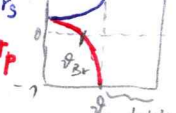


$r_s = \frac{|E_{rs}|}{|E_{is}|} e^{i\pi} = -\frac{|E_{rs}|}{|E_{is}|}$

**Brewsterův úhel**  $\theta_{Br}$   $\Rightarrow r_p = 0$   $\theta_{Br} + \theta_t = \frac{\pi}{2}$

$\tan \theta_{Br} = \frac{n_2}{n_1}$

odraz na opt. řídkším pr. ( $n_1 > n_2$ )



pro  $\theta_i \geq \theta_c \rightarrow$  totalní odraz s obecným fází. posuvem mezi dopadajícími a odraženou vlnou

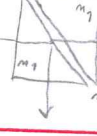
pro  $\theta_i < \theta_c \Rightarrow$  komplexní amplitudové koef.  $|r_s| = |r_p| = 1$

$r_s > 0 \Rightarrow$  nemění se fáze  $\theta_i < \theta_{Br}$

$r_p > 0 \Rightarrow -$   $\theta_i < \theta_{Br}$

$r_p < 0 \Rightarrow$  změna fáze o  $\pi$   $\theta_i \in (\theta_{Br}, \theta_c)$

FTIR = Frustrated Total Internal Reflection



dvuhmatl s vlnovými  $\rightarrow$  může proudit jako dvě antény nebo jako regulovatelný vlnovodní člen

potenciál je prostřední:  $n_2 c n_1$  dostatečně tenké totalní odraz. posuvem, část evanescentní vlny  $\rightarrow$  na tomto principu čtečky otisků prstů

Výkonové koeficienty odrazu a lomu

$J_i = \frac{1}{2} \epsilon_0 c n_1 E_{oi}^2 A \cos \theta_i$

$J_r = \frac{1}{2} \epsilon_0 c n_1 E_{or}^2 A \cos \theta_r$

$J_t = \frac{1}{2} \epsilon_0 c n_2 E_{ot}^2 A \cos \theta_t$

$R_{s,p} = \frac{J_r}{J_i} = \frac{E_{or}^2}{E_{oi}^2} = |r_{s,p}|^2$

$T_{s,p} = \frac{J_t}{J_i} = \frac{E_{ot}^2}{E_{oi}^2} \frac{n_2 \cos \theta_t}{n_1 \cos \theta_i} = \frac{n_2 \cos \theta_t}{n_1 \cos \theta_i} |t_{s,p}|^2$

# 4 INTERFERENCE

v lineárním prostředí ( $\vec{P} = \epsilon_0 \vec{\chi} \vec{E}$ ) platí v důsledku linearity Max. rov. princip superpozice

$$\vec{E} = \sum_n \vec{E}_n, \quad \vec{B} = \sum_n \vec{B}_n$$

el. pole nejsou schopni v opt. oboru detekovat  $\rightarrow$  pozorujeme při skládání stří. hodnot hustoty elektrické energie (intenzita vlny)

$$I = \langle u_E \rangle_T = \frac{1}{4} \epsilon_0 \epsilon_r E_0^2 = \frac{1}{4} \epsilon_0 n^2 E_0^2$$

stupně koherence - zřejmá je schopnost vln interferovat (monochromatické vlny stejné frekvence jsou dokonale koherentní)

interferenci je demonstrují při skládání vln z jedné kruhové koherenční zdroje po průchodu různými optickými drahami

2 vlny:  $\vec{E}_1 = \vec{E}_0 e^{i(k_1 \cdot \vec{r} - \omega t + \delta_{01})} = \vec{E}_0 e^{i\varphi_1(\vec{r}) - i\omega t}$   
 $\vec{E}_2 = \vec{E}_0 e^{i(k_2 \cdot \vec{r} - \omega t + \delta_{02})} = \vec{E}_0 e^{i\varphi_2(\vec{r}) - i\omega t}$

$I = \frac{1}{4} \epsilon_0 n^2 (E_{01}^2 + E_{02}^2 + 2 \vec{E}_{01} \cdot \vec{E}_{02} \cos(\varphi_1 - \varphi_2))$

$I(\vec{r}) = \frac{1}{4} \epsilon_0 n^2 (E_{01}^2 + E_{02}^2 + 2 E_{01} E_{02} \cos \alpha \cos \delta_{12}(\vec{r}))$

$V = \frac{I_{max} - I_{min}}{I_{max} + I_{min}}$   $V \in [0, 1]$   $I_{max} = 4I_0 \Rightarrow V = 1$   
 $I_{min} = 0 \Rightarrow V = 0$

IF obzorec: delokalizovaný (je vidět), reálný (je vidět v rozptýleném světle na mřížce)

dvousvazková IF vln  $\vec{k}_1 \parallel \vec{k}_2 \rightarrow k_1 = \frac{\omega}{c} n = k_2$  (monochr. vlna)  $\Rightarrow |\vec{k}_1| = |\vec{k}_2|$  a pokud  $\vec{k}_1 \parallel \vec{k}_2 \Rightarrow \vec{k}_1 - \vec{k}_2 = 0$  (také předpokládáme  $\vec{E}_1 \parallel \vec{E}_2$ )

Interferenční  $\rightarrow$  dvousvazkové (Michelsonův, Jaminův, Machův-Zehnderův, ...)  $\rightarrow$  vícečetný příspěvek vln v různých směrech vlnových vektorem

Michelsonův IF  $\rightarrow$  rozdíl opt. drah mezi posuvným zrcadlem

Jaminův IF  $\rightarrow$  rozdíl opt. drah změnou fáz. rychlosti

planparalelní dielektrická deska  $\Delta\varphi = 2d \cos \varphi$

dvousvazková IF vln  $\vec{k}_1 \neq \vec{k}_2 \rightarrow$  monochr. vln  $\rightarrow$  stále  $|\vec{k}_1| = |\vec{k}_2|$  (Haidingerovy kružnice)

IF obzorec: virtuální lokální vlny  $\rightarrow$  Haidingerovy kružnice

Fizeauovy proužky (kroužky stejné slonky)  $d = x \tan \alpha \approx x \alpha$

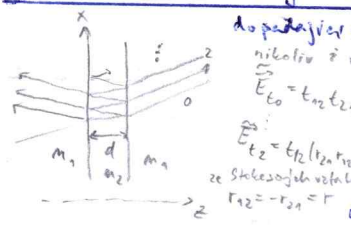
$I = \langle u_E \rangle_T = \frac{1}{4} \epsilon_0 n^2 \vec{E} \cdot \vec{E}^* = 4I_0^2 \cos^2(kx + \frac{\delta_0}{2}) = 2I_0 (1 + \cos(2kx + \delta_0))$

$\vec{E}_y(\vec{r}, t) = \vec{E}_{y1}(\vec{r}, t) + \vec{E}_{y2}(\vec{r}, t) = E_0 e^{i(k_2 z - \omega t)} (e^{i(k_1 x + \frac{\delta_0}{2})} + e^{-i(k_1 x + \frac{\delta_0}{2})})$

$\vec{E}_y(\vec{r}, t) = 2E_0 \cos(k_1 x + \frac{\delta_0}{2}) e^{i(k_2 z - \omega t)}$   $\Rightarrow$  modulace intenzity ve směru x

**IF N vln s rovnoběžnými  $\vec{k}$ , stejnými amplitudami  $E_0$  a stejnými fáz. rozdíly  $\delta$**   
 fáz. posun mezi m-tou a m+1 vlnou  $\delta_{m,m+1} = \delta$ , uvažujeme rovinné vlny s vektorem  $\vec{k} = (k \sin \theta, 0, k \cos \theta)$  uvažují se m  
 pro m-tou vlnu ( $m \in [0, N-1]$ ) platí:  $E_m(x, z, t) = E_0 e^{ikx \sin \theta} e^{ikz \cos \theta} e^{-i\omega t} e^{im\delta} = E_{m=0} e^{im\delta}$   
 součet N vln:  $E_{tot} = E_{m=0} \sum_{m=0}^{N-1} e^{im\delta} = E_{m=0} \frac{1-e^{iN\delta}}{1-e^{i\delta}}$  relativní intenzita:  $E_{tot} E_{tot}^* = E_{m=0}^2 \frac{1-e^{iN\delta}}{1-e^{i\delta}} \frac{1-e^{-iN\delta}}{1-e^{-i\delta}} = |E_0|^2 \frac{\sin^2(N\frac{\delta}{2})}{\sin^2(\frac{\delta}{2})}$   
 $\delta = 2\pi \frac{d}{N} \sin \theta$ ,  $\delta \neq 2\pi$ ,  $\frac{d}{N} \in \mathbb{Z}$ ,  $\frac{d}{N} \notin \mathbb{Z} \Rightarrow$  v závislosti na  $\delta$  homogenní modulace celého IF prostoru  $\rightarrow$  zhuštění, rozvlnění celého prostoru  
 $I_z = \frac{1}{2} \epsilon_0 m^2 \vec{E}_t \cdot \vec{E}_t^* = \dots$  k prouž + ústředí Stokesových vln

**IF  $\infty$  vln s rovnoběžnými  $\vec{k}$ , různými amplitudami a stejnými fáz. rozdíly  $\delta$**   
 dopadající vlna:  $\vec{E}_i = \vec{E}_0 e^{ikx \sin \theta} e^{ikz \cos \theta} e^{-i\omega t}$   
 $\vec{E}_{t2} = t_{21} t_{21}^* \vec{E}_i$  fáz. rozdíly při jednom průchodu vrstvou  
 $\vec{E}_{t1} = t_{12} t_{12}^* \vec{E}_i$  fáz. rozdíly při jednom průchodu vrstvou  
 celkové pole za deshou:  $\vec{E}_t = t_{12} t_{21} e^{i\frac{\delta}{2}} \vec{E}_i (1 + r_{21}^2 e^{i\delta} + r_{21}^4 e^{i2\delta} + \dots)$   
 Fabryův-Pérotův IF



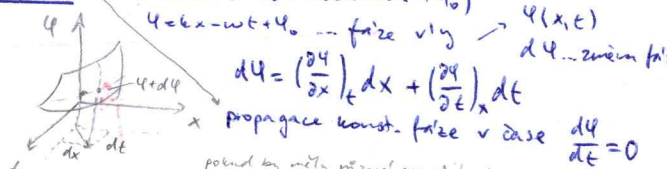
**Airyho funkce**  
 $I_t = \frac{I_0}{1 + F \sin^2 \frac{\delta}{2}}$   
 $F = \frac{4R}{(1-R)^2}$  - jemnost  
 výkonný koef. odrazu  $R = r^2$

interferenční obraz s je modulován Airyho f. zda bude obraz intenzivní nebo temný rozhoduje  $d, m_2, \theta$  (tedy poloha bodu S) třeba piezoelektrický tlak plynu  $\Rightarrow$  vysoká ostrost  $\Rightarrow$  velmi přesná měření!

Monochromatizace (monoenergetizace) vlny:  
 - proces neharmonický v ose ani prostoru:  $\epsilon(\omega) = \epsilon(\omega, \vec{k})$   
 $\rightarrow$  idealizace  $\rightarrow$  fyzikálně nereálné  $\rightarrow$  nese informaci  
 Realita  $\rightarrow$  kvazimonochromatizace vlny  $\Delta\omega \neq 0, \Delta\omega \ll \omega$  (malé rozdíly frekvencí)

**FAZOVÁ RYCHLOST**

$v_p = - \frac{(\frac{\partial \varphi}{\partial t})_x}{(\frac{\partial \varphi}{\partial x})_t}$

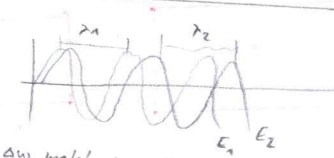


$\frac{d\varphi}{dt} = (\frac{\partial \varphi}{\partial x})_t \frac{dx}{dt} + (\frac{\partial \varphi}{\partial t})_x = 0$   
 $v_p = \frac{\omega}{k}$

**GRUPOVÁ RYCHLOST**

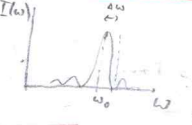
$v_g = (\frac{d\omega}{dk})_{\bar{\omega}}$

zavedeme:  $\bar{\omega} = \frac{1}{2}(\omega_1 + \omega_2)$ ,  $\bar{k} = \frac{1}{2}(k_1 + k_2)$   
 $\Delta\omega = \frac{1}{2}(\omega_1 - \omega_2)$ ,  $\Delta k = \frac{1}{2}(k_1 - k_2)$   
 $\omega_1 \sim \omega_2$ ,  $\bar{\omega} \gg \Delta\omega$   
 $E_0$  se mění pomalu  
 modulační (signal) a šíří rychlosti  $v_g$ , která může být větší, stejná nebo menší než fázová rychlost nosné vlny  $\rightarrow$  každý reálný světelný vln je omezen v čase (je zapomena a detekována ve specifickém čase)  $\rightarrow$  takový pulz je složen z mnoha sinusových vln různé amplitudy a fáze  $\rightarrow$  vlna konkrétně trvalně představuje frekvenci  $\omega_0$   $\rightarrow$  vlna konkrétně trvalně představuje frekvenci  $\omega_0$   $\rightarrow$  vlna konkrétně trvalně představuje frekvenci  $\omega_0$

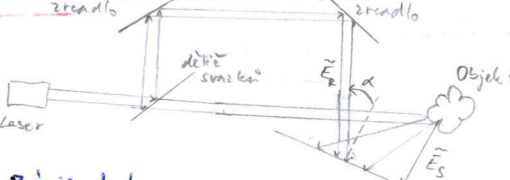


$E = 2E_0 \cos(\bar{k}z - \bar{\omega}t) \cos(\Delta k z - \Delta\omega t)$

$v_g = \frac{\Delta\omega}{\Delta k} = \frac{\omega_1 - \omega_2}{k_1 - k_2}$



**HOLOGRAFIE**



Vysílečné pole:  $\vec{E}_F = \vec{E}_R + \vec{E}_S$   
 Intenzita světla na filmu  
 $I_F \sim \vec{E}_F \cdot \vec{E}_F^* = (\vec{E}_R + \vec{E}_S) \cdot (\vec{E}_R^* + \vec{E}_S^*)$   
 $= A_R^2 + A_S^2 + A_R A_S e^{i(\varphi - \theta)} + A_R A_S e^{i(\theta - \varphi)}$   
 tato intenzita je exponována filmem  
 propustnost filmu:  
 $t(x, y) = t_0 - a I_F(x, y)$   
 virtuální obraz

Zobrazení hologramu  
 osvětlení - výsklený přív. objekt hologram za identických podmínek jako při expozici; pouze referenční vlnou pod stejnými úhly vlnění po průchodu ref. vlny hologramu  
 $\vec{E}_H = t(x, y) \vec{E}_R = t_0 \vec{E}_R - a \dots$   
 $= t_0 \vec{E}_R - a [A_R^2 + A_S^2] \vec{E}_R + A_R A_S e^{i(\varphi - \theta - \omega t)} + A_R A_S e^{i(\theta - \varphi - \omega t)}$   
 1) reálný obraz (obíhává paprsky)  
 2) virtuální obraz  
 3) vlna ve směru směru původní ref. vlny  $\rightarrow$  nese informaci  
 4)  $\sim A_R A_S e^{i(2\varphi - \theta - \omega t)}$  vlna fáz. posunutá uči původní signální vlně (obíhává kulová vlna)

**Zápis hologramu**

zápis intenzity a fáze pomocí IF s ref. vlnou  
 Ref. vlna: rovinná vlna  
 $\vec{E}_R(x) = A_R e^{i(k_R x \sin \alpha - \omega t)} \approx A_R e^{i(k_R x - \omega t)}$   
 $= A_R e^{i(\varphi - \omega t)}$

Signální vlna: rovinné světlo pole (přidání před. kulovou vlnu)  
 $\vec{E}_S(x) = A_S e^{i(k_S x \sin \beta - \omega t)} = A_S e^{i(\theta - \omega t)}$   
 $\theta = f(x, y)$   
 $A_S = f(x, y)$

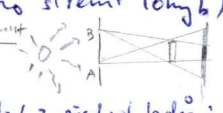
**5 DIFRAKCE** (skalární popis) = odchylné světla od přímocího šíření (ohyb) z působení fyzikální přehrátky paprsek = rovinná k vlnoploše

z fyzikálního hlediska se jedná o jev interference výsledky ze začátku 19. st. (Fresnelovy výsledky inspirované Huygensem) 1665

spolujsme se s 2D zjednodušením (tj. difrakce na 2D objektech), teorie vychází z předpokladů:

- 1) ignorovat vektorový charakter
- 2) pole je monochromatické s čas. závislostí  $e^{-i\omega t}$
- 3) difrakční objekty (píchlůžky a otvory) jsou rovinné, 2D a jsou podstatně větší než vlnová délka záření, přehrátky jsou dokonale čiré
- 4) pole v rovině apertury je stejné jako kdyby zde skříně nebylo (pole v otvoru totožné s polem vně otvoru vlny)
- 5) místa pozorování je od difrakčního objektu podstatně více vzdáleno než vlnová délka záření

Kirchhoffova obrazová podmínka



apertura = nepropustná skříně s otvorem  
 polod rovinný difr. objektu  $\sim \lambda$   
 $\Rightarrow$  problém klavně zanedbatelné otvory poslat pole v otvoru nemůžeme s vln. hmotou  
 a představa není dokonalá čirna

$$\Delta E + k^2 E = 0$$

označení:  $E(x, y, z, t) = E(x, y, z) e^{-i\omega t}$  ... skalární pole ( $E$ )  $\rightarrow$  v difrakčních vztazích je zvykem vynechat časové závislosti tj.  $e^{-i\omega t}$  protože předp. monochr. vlny frekvence

prostorové závislosti skalární komplexní veličina  $\rightarrow$  skalární obdoba komplexní amplitudy elektrického pole

skalární kulová (kulové vlnoplochy = plochy konst. fáze) a navíc kulové symetrické (na vlnoploše i konst. amplitudy) vlna vycházející z určitého bodu  $Z$  je  $E(x, y, z) = \frac{E_0 z}{s} e^{iks}$ , kde  $s = \sqrt{(x-x_0)^2 + (y-y_0)^2 + (z-z_0)^2}$ ,  $E_0 z$  amplituda pro  $s=1$ ,  $k = \frac{\omega}{c} = \frac{2\pi}{\lambda}$

Huygens-Fresnelův princip elektromagnetická (vektorová, ale po zjednodušení pílema) vlna s kulovou symetrií amplitudy

průspěvek sekundárních vlnek  $E(x, y, z)$  od elementu integraní plochy  $dS$ , který se nachází v místě  $(X, Y, Z)$  se v různých modelech různí:

- kulová, kulově symetrická sekundární vlna  $dE(x, y, z) = E(X, Y, Z) \frac{e^{ikr}}{r} dS$ , kde  $r = \sqrt{(x-X)^2 + (y-Y)^2 + (z-Z)^2}$
- aproximace kulové vlny vlnou parabolickou (FRESNELOVA APROXIMACE)
- vztahy zahrnující směrové faktory  $dE(x, y, z) = \frac{-i}{\lambda} E(X, Y, Z) \frac{e^{ikr}}{r} K(\theta) dS$

Fresnelův-Kirchhoffův integrál

z toho Rayleighova-Sommerfeldova integrálu

jako relativní intenzitu bereeme  $I(x, y, z) = E(x, y, z) E^*(x, y, z)$ ,  $I_0$  maximální hodnota  $I$  v difrakčním obrazci

**FRESNEL-KIRCHHOFFŮV INTEGRÁL**

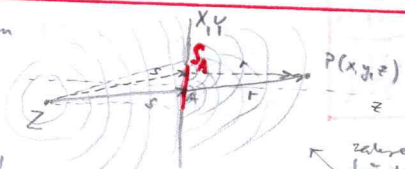
$$E(x, y, z) = \frac{-i}{\lambda} \iint_{S_A} E(X, Y, 0) \frac{e^{ikr}}{r} K(\theta) dS_A$$

směrový faktor  
 parabolická aproximace  
 $\rightarrow K(\theta) \approx 1$

$$E(x, y, z) = \frac{-i}{\lambda} \iint_{S_A} E(X, Y, 0) \frac{e^{ikr}}{r} dS_A$$

$\rightarrow$  popisuje skládání elementárních kulových vln vycházejících z otvoru určitého aperturou v rovině  $z=0$  body apertury  $(X, Y, 0)$ , v rovině místa apertury  $A$  vybrání bodu  $E(X, Y, 0) = E_0 z \frac{e^{iks}}{s}$

$dS_A = dX dY$  - integrace probíhá přes rov. vlnoplochy apertury  $S_A$



**Fresnelova aproximace**

obt. aproximace jsou parabolická a předpokládají se zdroj se nachází blízko osy  $z$ , stejně tak pozorovatel v nízkém intervalu úhlu od optické osy, proto je jmenovatel integrandu přibližně  $r \approx z$

se mění (osciluje) velmi rychle  $\nabla$  aplikujeme Taylorův rozvoj a udržíme kulové vlny parabolickým vlnou.

zjednodušená difrakce v nízkém intervalu úhlu od optické osy, proto je jmenovatel integrandu přibližně  $r \approx z$ , v exponentu v čitateli to udělat nelze protože člen  $e^{ikr}$  se mění (osciluje) velmi rychle

$r = \sqrt{(x-x')^2 + (y-y')^2 + z^2} = z \sqrt{1 + \frac{(x-x')^2 + (y-y')^2}{z^2}} \approx z \left( 1 + \frac{(x-x')^2 + (y-y')^2}{2z^2} \right) = z + \frac{(x-x')^2 + (y-y')^2}{2z}$

$\frac{e^{ikr}}{r} \approx \frac{e^{ikz}}{z} e^{ik \frac{(x-x')^2 + (y-y')^2}{2z}} = \frac{e^{ikz}}{z} e^{ik \frac{(x^2 - 2xx' + x'^2 + y^2 - 2yy' + y'^2)}{2z}} = \frac{e^{ikz}}{z} e^{ik \frac{x^2 + y^2}{2z}} e^{-ik \frac{x x' + y y'}{z}} e^{ik \frac{x'^2 + y'^2}{2z}}$

$$E(x, y, z) \approx \frac{-i}{\lambda} \frac{e^{ikz}}{z} e^{ik \frac{(x^2 + y^2)}{2z}} \iint_{S_A} E(X, Y, 0) e^{-ik \frac{(xX + yY)}{z}} dX dY$$

$$\frac{(x-x')^2 + (y-y')^2}{z^2} \ll 1$$

**Fraunhoferova aproximace** (aproximace vzdáleného pole)

také aproximace na malých otvorech  $\rightarrow$  zanedbatelný člen  $e^{ik \frac{(x^2 + y^2)}{2z}}$   $\sim 20\lambda$  od apertury

dlouhé úhlové dráhy  $\rightarrow$  jednodušší řeš. podmínka se redukuje na  $z \gg x-x'$

použitelnost závisí na poměru  $(z \gg \lambda)$  a velikosti apertury  $\rightarrow$  použitelná pro vzdálenosti:

$$z \gg z_{Fres} = \frac{k}{8} D^2 = \frac{2\pi}{8} \frac{D^2}{\lambda} \approx 0,8 \frac{D^2}{\lambda}$$

$$E(x, y, z) \approx \frac{-i}{\lambda} \frac{e^{ikz}}{z} \iint_{S_A} E(X, Y, 0) e^{-ik \frac{(xX + yY)}{z}} dX dY$$

$$e^{ik \frac{(x^2 + y^2)}{2z}} \approx 1$$



**Babinetův princip**

princip superpozice pro el. pole aplikovaný na výpočet difrakčních integrálů

$$E(x, y, z) = \frac{-i}{\lambda} \iint_{S_A} E(X, Y, 0) \frac{e^{ikr}}{r} dS_A = \frac{-i}{\lambda} \sum_j \iint_{S_j} E(X, Y, 0) \frac{e^{ikr}}{r} dS_j$$

ide pro plochu apertury platí  $S_A = \sum S_j$  pro plochy ve skříně nepropustné beryme + plochy nepropustné

vpr.  $E_{Fres} = E_{Fres} - E_{Fres}$

**Fraunhoferova difrakce**

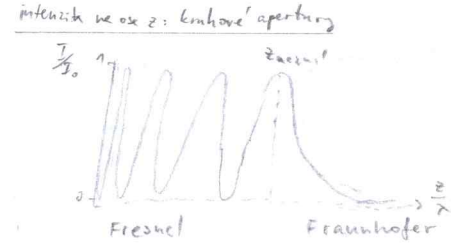
intenzita rosteje rovinně do geom. střiny

$\uparrow z \Rightarrow$  rozšiřuje se profil a intenzita na ose klesá

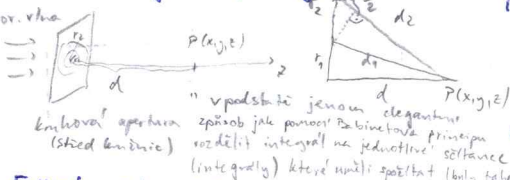
**výpočet difrakčního integrálu:**

$\rightarrow$  numerický poměr počítání i pro složité apertury

$\rightarrow$  přibližné pomoci Fresnelových zeb



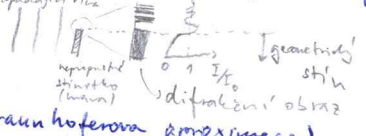
Fresnelovy zóny (přibližný výpočet difr. integrálu) = vlnoplochy se rozdělí na Fresnelovy polovlnové zóny



$r_n = \sqrt{(d + m \frac{\lambda}{2})^2 - d^2}$   
 $d_1 = d + \frac{\lambda}{2}$   
 $d_2 = d + 2 \frac{\lambda}{2}$   
 kmit  $r_1, \dots, 1$ . Fraunhoferova zóna  
 mezizón  $r_2, r_1 - 2$ . Fresnelova zóna  $E(r, P) = \frac{A}{r} e^{i(kr + \pi)} = \frac{A}{r} e^{i kr}$   
 mezizón  $r_m, r_{m-1} \dots m$ -ta Fresnelova zóna

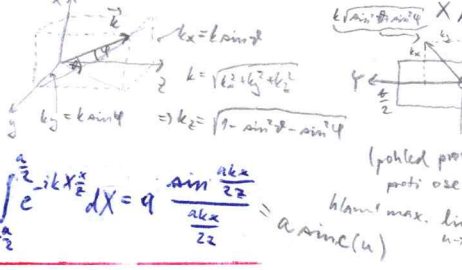
Fresnelovy zónové desky = opt. prvky, ve kterých jsou některé (např. součásti) Fr. zóny fyzicky odříznuty → difr. obrazce s difr. obrazcem  
 celkově: přispívají soujinný zón se vzájemně doplňují (destruktivní) a jiné zóny se vzájemně doplňují (konstruktivní). Stejně tak přispívají lichý zón, přispívají Σ soujinný zón a Σ lichý zón se vzájemně doplňují (destruktivní) → vzhledem ke změně amplitud, směrovému faktoru a plochy zón je celkový součet (přibližně res. difr. f) nenulový

Difrakce na hraně (Fresnelova aproximace)



Difrakce na štěrbině (Fresnelova aproximace)  
 Difrakce na obdélníkové apertuře (Fresnelova aproximace)

Difrakce na obdélníkové apertuře (Fraunhoferova aproximace)



předpokládáme, že na apertuře dopadá rovinná vlna  $E_0$   
 $E(x, y, z) = E_0 \int_{-a/2}^{a/2} \int_{-b/2}^{b/2} e^{-ik_x X} e^{-ik_y Y} e^{-ik_z z} dX dY$   
 $E(x, y, z) \approx \frac{E_0}{\lambda z} \int_{-a/2}^{a/2} e^{-ik_x X} dX \int_{-b/2}^{b/2} e^{-ik_y Y} dY$   
 $\int_{-a/2}^{a/2} e^{-ik_x X} dX = \frac{2 \sin(\frac{a k_x}{2})}{k_x}$   
 $I = E(x, y, z) \cdot E^*(x, y, z) = \left(\frac{E_0}{\lambda z}\right)^2 \left(\frac{\sin u}{u}\right)^2 \left(\frac{\sin v}{v}\right)^2$   
 intenzita podél osy x:  $I(x, 0, z) \propto \frac{1}{z^2} \frac{\sin^2 u}{u^2}$

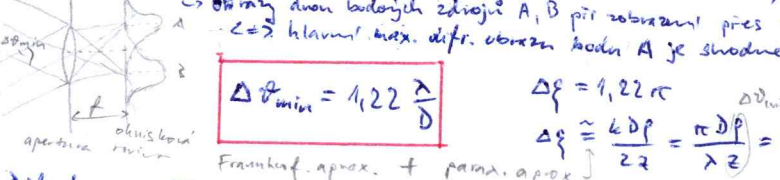
Difrakce na kruhové apertuře (Fraunhoferova aproximace)

J<sub>1</sub> ... Besselova funkce 1. druhu  
 paraxiální aproximace  
 $I(r, z) = I_0 \left(\frac{2J_1(\xi)}{\xi}\right)^2$   
 $\xi = \frac{kD}{2} \sin \theta = \frac{\pi D}{\lambda} \sin \theta$   
 $\xi \approx \frac{kD}{2} \frac{r}{z} = \frac{\pi D r}{\lambda z}$

Difrakce na kruhové apertuře (Fraunhoferova aproximace)

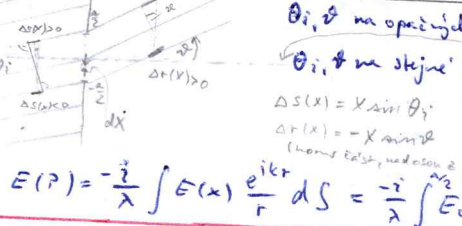
D<sub>1</sub> ... průměr apertury  
 $I(r, z) = I_0 \left(\frac{2J_1(\xi)}{\xi}\right)^2$   
 $\xi = \frac{kD}{2} \sin \theta = \frac{\pi D}{\lambda} \sin \theta$   
 $\xi \approx \frac{kD}{2} \frac{r}{z} = \frac{\pi D r}{\lambda z}$

Rayleighovo kritérium (rozlišitelnosti obrazů dvou bodů)



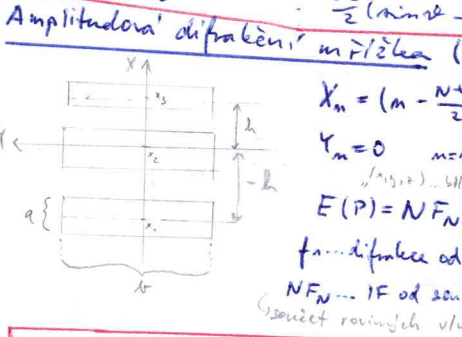
v paraxiální aproximaci  
 $\frac{x}{z} = \theta \approx \sin \theta \approx \theta$   
 $\frac{y}{z} = \theta \approx \sin \theta \approx \theta$   
 $\Delta \theta_{\min} = 1,22 \frac{\lambda}{D}$   
 $\Delta \xi = 1,22 \pi$   
 $\Delta \xi \approx \frac{k D \Delta r}{2 z} = \frac{\pi D \Delta r}{\lambda z} = \pi \frac{D}{\lambda} \Delta \theta_{\min} = 1,22 \pi$

Difrakce na štěrbině (Fraunhoferova aproximace)



enantiomorfická konvence:  $\theta_1, \theta_2$  na opačných stranách normály → dva kladní  
 $\theta_1, \theta_2$  na stejné straně normály →  $\theta_2$  záporný  
 $\Delta S(x) = X \sin \theta_1$   
 $\Delta r(x) = -X \sin \theta_2$   
 $E(P) = \frac{E_0}{\lambda} \int_{-a/2}^{a/2} e^{ikx} e^{-ikr} dX = \frac{E_0}{\lambda} \int_{-a/2}^{a/2} e^{ikX(\sin \theta_1 - \sin \theta_2)} dX$   
 $E(P) = \frac{E_0}{\lambda} \frac{a}{r_0} \frac{\sin \left[ \frac{a k}{2} (\sin \theta_1 - \sin \theta_2) \right]}{\frac{a k}{2} (\sin \theta_1 - \sin \theta_2)}$

Amplitudová difrakce mřížka (Fraunhoferova aproximace)



Amplitudová difrakce mřížka (Fraunhoferova aproximace)  
 $X_n = (n - \frac{N+1}{2}) h$   
 $Y_n = 0$   
 $E(P) = N F_N f_1$   
 $F_N = \frac{1}{N} \sum_{n=1}^N e^{-ik X_n \sin \theta}$   
 $F_N = \frac{1}{N} \frac{\sin(N \gamma)}{\sin \gamma}$   
 $I(x, y, z) \approx I_0 \left(\frac{\sin(N \gamma)}{N \sin \gamma}\right)^2 \left(\frac{\sin u}{u}\right)^2 \left(\frac{\sin v}{v}\right)^2$   
 $\gamma = \frac{k h}{2} \sin \theta$ ,  $u = \frac{a k}{2} \sin \theta$ ,  $v = \frac{h k}{2} \sin \varphi$   
 $\theta_1 \neq 0$   $\gamma = \frac{k h}{2} (\sin \theta_1 - \sin \theta_2)$

Mřížková rovnice

Mřížková rovnice  
 $d(\sin \theta_2 - \sin \theta_1) = m \lambda$   
 $\sin \theta_m - \sin \theta_i = \frac{\lambda}{h} m$

maximálna fca \$F\_0\$ ... interferenčná maxima \$\Rightarrow\$ polohu hlavných interferenčných maxim \$F\_0\$ (\$m \neq 0\$) závisí na vlnov. dĺžke \$\lambda\$  
 maximálna fca \$f\_1\$ ... difrakčná maxima \$\rightarrow\$ pri súčasnom osvetlení viacerými vlnovými dĺžkami \$\rightarrow\$ IF maxima v rôznych uhľoch pre rôzne \$\lambda\$  
 rozlišovacia schopnosť \$\rightarrow\$ pri súčasnom osvetlení viacerými vlnovými dĺžkami \$\rightarrow\$ IF maxima v rôznych uhľoch pre rôzne \$\lambda\$  
 \$\Delta\lambda = \lambda\_2 - \lambda\_1\$  
 \$\lambda\_2 = \lambda\_1 + \Delta\lambda\$

$$R_{Dm} = \frac{\lambda_1}{\Delta\lambda} = Nm$$

\$N\$ ... celkový počet osvetľujúcich štrbín  
 \$m\$ ... rád maxima IF fca \$F\_0\$  
 (v. d. difrakč. max.)

$$D_{\theta} = \frac{d\theta}{d\lambda} \Big|_{\theta_i = \text{konst.}} = \frac{m}{h \cos \theta}$$

vlnový spektrálny interval = interval vln. dĺžok, pro ktoré sa difr. obraz na detektore pro rád \$m\$ neprotahujú s difr. obrazom pro rád \$(m+1)\$ \$\rightarrow\$ tj. vedľa seba maximum pro \$\lambda \in [\lambda\_1, \lambda\_2]\$ ničenie spektrálnu dobú zameriavajú pokul \$\theta\_m\$ paprsku \$\lambda\_2\$ neprotahujú difr. obraz \$(m+1)\$ maxima tj. \$\theta\_{m+1}\$  
 mřížky na odraz (s povrchovým reliéfom) Blegzonné mřížky

$$h(\sin \theta_{2m} - \sin \theta_1) = m\lambda_2 - m\lambda_1$$

$$F_{2m} = \lambda_2 - \lambda_1 = \left(\frac{m+1}{m} - 1\right)\lambda_1 = \frac{\lambda_1}{m}$$

**6 KOKERENENCE**

= korelácia medzi množinami číselných pole v miestach a časoch  
 popisujúce pomocou korelačných funkcií

korelačná fca (2. rádu) všetky \$E\$ by mala byť opísané s vlnov. tj. \$E\$  
 časová koherencia

$$\Gamma_{12}(\vec{r}_1, \vec{r}_2, \tau) = \langle E_1(\vec{r}_1, t+\tau) E_2^*(\vec{r}_2, t) \rangle_{t_0} = \frac{1}{T} \int_{t_0}^{t_0+T} E_1(\vec{r}_1, t+\tau) E_2^*(\vec{r}_2, t) dt$$

$$\Gamma_{11}(\vec{r}_1, \vec{r}_1, \tau) = \langle E_1(\vec{r}_1, t+\tau) E_1^*(\vec{r}_1, t) \rangle_{t_0} = \Gamma_{11}(\tau)$$

$$\Gamma_{22}(\vec{r}_2, \vec{r}_2, \tau) = \langle E_2(\vec{r}_2, t+\tau) E_2^*(\vec{r}_2, t) \rangle_{t_0} = \Gamma_{22}(\tau)$$

kvazimonochromatické vlnění - signál skladajúci sa z mnoha frekvencií, jejichž frekvencie sa nachádzajú v úzkom intervale \$\Delta\omega\$ kolem \$\omega\$

$$\tilde{E}(t) = A(t) e^{i(\varphi(t) - \omega t)} = A(t) e^{i\phi(t)}$$

komplexný analytický signál, \$A(t)\$ ... amplitúda, \$\phi(t)\$ ... fáza

interferenčný rozdiel na 2 miestach

$$E_D = E_0(t+\tau) + E_0(t)$$

$$I_D = I_1 + I_2 + \frac{1}{2} \epsilon_0 \Gamma_{12}(\tau)$$

$$I_D = I_1 + I_2 + 2\sqrt{I_1 I_2} \text{Re} \{ \gamma_{12}(\tau) \}$$

$$I_D = 2I_0 + 2I_0 \text{Re} \{ \gamma_{12}(\tau) \} = 2I_0 (1 + \text{Re} \{ \gamma_{12}(\tau) \})$$

$$\gamma_{12}(\tau) = \frac{\Gamma_{12}(\tau)}{\sqrt{\Gamma_{11}(0) \Gamma_{22}(0)}}$$

časová koherencia : putz rozdelen interferenčným na 2 pulzy, ktoré sa pohybujú po rovných opt. drážiach \$\rightarrow\$ časový rozdiel obou pulzov: \$\tau = \frac{d\_2 - d\_1}{c}\$  
 k IF dojde podľa pokul je väčší než dĺžka pulzu  
 k IF nedojde (pulzy sa na časovej ose neprotahujú) \$\rightarrow\$ interferenčný rozdiel časový rozdiel

Model fyzických štrbín \$\rightarrow\$ statistický chod svetla, predp. že sa fáza nahodne mení

$$E_1 = E_0 e^{i(\varphi(t+\tau) - \omega(t+\tau))}$$

$$E_2 = E_0 e^{i(\varphi(t) - \omega t)}$$

$$\Gamma_{12}(\tau) = \langle E_1 E_2^* \rangle_{t_0} = E_0^2 \langle e^{i(\varphi(t+\tau) - \varphi(t))} \rangle_{t_0} = E_0^2 \langle e^{-i\omega\tau} e^{i(\varphi(t+\tau) - \varphi(t))} \rangle_{t_0}$$

$$\Gamma_{12}(\tau) = E_0^2 \left( 1 - \frac{\tau}{t_0} \right) e^{-i\omega\tau}$$

$$|\gamma_{12}(\tau)| = \left( 1 - \frac{\tau}{t_0} \right)$$

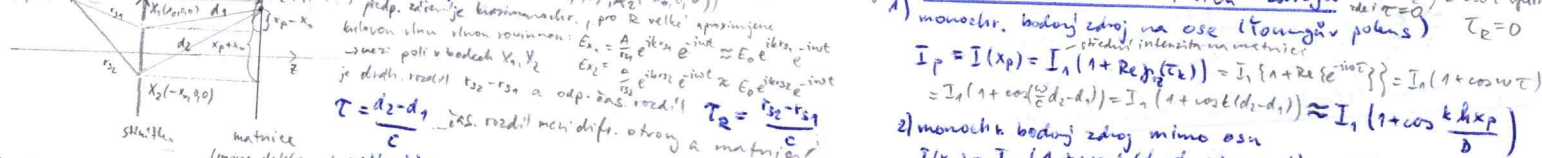
viditeľnosť \$V = \frac{I\_{max} - I\_{min}}{I\_{max} + I\_{min}}\$

$$V = \left( 1 - \frac{\tau}{t_0} \right)$$

viditeľnosť po časovom intervale \$t\_0\$ klesá k nule proto definujeme \$\Rightarrow\$

**prostorová koherencia**

popisuje vzájomnú koreláciu zistení re dvoch miestach bodoch priestoru \$X\_1(x\_1, y\_1, z\_1)\$, \$X\_2(x\_2, y\_2, z\_2)\$



$$\tau = \frac{d_2 - d_1}{c}$$

$$d_1 = \sqrt{D^2 + (x_p - x_1)^2}$$

$$d_2 = \sqrt{D^2 + (x_p + x_2)^2}$$

$$d_2 - d_1 \approx \frac{2x_p x_2}{2D} = \frac{h x_p x_2}{D}$$

prípustná intenzita svetla na mřížke v prípade časovo-prostorovej koherencie, kdy zdroj je obklopený plochou, je určité zhrnutím dĺžkovej (a príslušnej časovej) rozdiely ktoré jednotlivé vlny získajú pri šírení od jednotlivých nekoherenčných zdrojov (bodových) k difr. otvorom

$$I_p = I_0 \left( 1 + \cos \left( \frac{khx_p}{D} \right) \right)$$

$$V = \left| \frac{\sin u}{u} \right| \leq 1$$

tj. na R veľke se zhrnú z kmitů každého zdroje jem pole zhrnú koherenčným kľe intenzita je väčšia

# 7 GEOMETRICKÁ OPTIKA

- popisuje šíření světla pomocí paprsků; je to limitní případ vlnové optiky

$$\vec{E}(\vec{r}, t) = \vec{E}_0(\vec{r}) e^{i(k_0 \psi(\vec{r}) - \omega t)}$$

izotropní, opticky nehomogenní prostředí  $\rightarrow n = n(\vec{r})$   $E = \epsilon(\vec{r})$

rovnice eikonálu  $\nabla \psi(\vec{r}) = \text{grad } \psi(\vec{r})$  ... udává směr šíření vlny

$$\vec{E}_0(\vec{r}) \dots \text{amplituda, která se mění na vzdálenosti}$$

$$\vec{H}(\vec{r}) = \vec{H}_0(\vec{r}) e^{i(k_0 \psi(\vec{r}) - \omega t)}$$

$\psi(\vec{r}) \dots$  eikonál  $\rightarrow$  skalární funkce souřadnic (má rozměr délky)

$\vec{E}(\vec{r})$  redline,  $\vec{H}(\vec{r})$  blackline,  $\vec{E}(\vec{r})$  a  $\vec{H}(\vec{r})$  k absorpci a rezonanci

## ROVNICE EIKONÁLU

z Max. rov.  $\text{rot } \vec{E} = -\frac{\partial \vec{D}}{\partial t}$ ,  $\text{rot } \vec{H} = \frac{\partial \vec{D}}{\partial t} + \vec{j}$

pro rovinnou vlnu  $\psi(\vec{r}) = n(\vec{r}) \cdot \vec{r}$   $\vec{A} = \vec{E}_0(\vec{r})$   $a = e^{i(k_0 \psi(\vec{r}) - \omega t)}$

$$\text{grad } \psi = n(\vec{r}) \cdot \vec{s}$$

kde  $\vec{s}_0$  je jedn. vektor směru šíření

$$\text{rot } \vec{E}_0 + \text{grad}(e^{i(k_0 \psi - \omega t)}) \times \vec{E}_0 = 0$$

$$\text{rot } \vec{E}_0 + i k_0 \text{grad } \psi \times \vec{E}_0 - i \omega \mu_0 \vec{H}_0 = 0$$

po přičtení  $60: H_0(\vec{r}) = \frac{k_0}{\omega \mu_0} \text{grad } \psi(\vec{r}) \times \vec{E}_0(\vec{r})$

$$\vec{E}_0(\vec{r}) = -\frac{1}{n^2} \{ \text{grad } \psi \cdot (\text{grad } \psi \cdot \vec{E}_0(\vec{r})) - \vec{E}_0(\vec{r}) (\text{grad } \psi \cdot \text{grad } \psi) \}$$

$$\frac{1}{k_0} \text{rot } \vec{E}_0(\vec{r}) + i \text{grad } \psi(\vec{r}) \times \vec{E}_0(\vec{r}) - i \omega \mu_0 \vec{H}_0(\vec{r}) = 0$$

pro homog. prostředí  $(n = \text{konst.}) \rightarrow \text{grad } n(\vec{r}) = 0$

$$\vec{E}_0(\vec{r}) = \frac{1}{n^2} (\text{grad } \psi)^2 \vec{E}_0(\vec{r}) \Rightarrow (\text{grad } \psi(\vec{r}))^2 = n^2(\vec{r})$$

$$\frac{d}{ds} \left( n(\vec{r}) \frac{d\vec{r}}{ds} \right) = \text{grad } n(\vec{r})$$

pro homog. prostředí  $(n = \text{konst.}) \rightarrow \text{grad } n(\vec{r}) = 0$

$$\vec{s} \sim \vec{E}_0 \times \vec{H}_0 \sim (\text{grad } \psi \times \vec{E}_0) \times (\text{grad } \psi \times \vec{E}_0) = \text{grad } \psi (\text{grad } \psi \cdot \vec{E}_0) \cdot \vec{E}_0 - \vec{E}_0 (\text{grad } \psi \cdot \text{grad } \psi) \cdot \text{grad } \psi$$

pro homog. prostředí  $(n = \text{konst.}) \rightarrow \text{grad } n(\vec{r}) = 0$

pro homog. prostředí  $(n = \text{konst.}) \rightarrow \text{grad } n(\vec{r}) = 0$

$$\vec{s} \sim \text{grad } \psi$$

pro homog. prostředí  $(n = \text{konst.}) \rightarrow \text{grad } n(\vec{r}) = 0$

pro homog. prostředí  $(n = \text{konst.}) \rightarrow \text{grad } n(\vec{r}) = 0$

$$\vec{s}_0 = \frac{d\vec{r}}{|\frac{d\vec{r}}{ds}|} = \frac{d\vec{r}}{ds}$$

pro homog. prostředí  $(n = \text{konst.}) \rightarrow \text{grad } n(\vec{r}) = 0$

pro homog. prostředí  $(n = \text{konst.}) \rightarrow \text{grad } n(\vec{r}) = 0$

$$\text{grad } \psi(\vec{r}) = n(\vec{r}) \frac{d\vec{r}}{ds}$$

pro homog. prostředí  $(n = \text{konst.}) \rightarrow \text{grad } n(\vec{r}) = 0$

pro homog. prostředí  $(n = \text{konst.}) \rightarrow \text{grad } n(\vec{r}) = 0$

$$\oint n(\vec{r}) \vec{s}_0(\vec{r}) \cdot d\vec{l} = 0$$

pro homog. prostředí  $(n = \text{konst.}) \rightarrow \text{grad } n(\vec{r}) = 0$

pro homog. prostředí  $(n = \text{konst.}) \rightarrow \text{grad } n(\vec{r}) = 0$

$$\text{grad } \psi(\vec{r}) = n(\vec{r}) \vec{s}_0(\vec{r})$$

pro homog. prostředí  $(n = \text{konst.}) \rightarrow \text{grad } n(\vec{r}) = 0$

pro homog. prostředí  $(n = \text{konst.}) \rightarrow \text{grad } n(\vec{r}) = 0$

$$\text{rot } \text{grad } \psi(\vec{r}) = \text{rot } n(\vec{r}) \vec{s}_0(\vec{r})$$

pro homog. prostředí  $(n = \text{konst.}) \rightarrow \text{grad } n(\vec{r}) = 0$

pro homog. prostředí  $(n = \text{konst.}) \rightarrow \text{grad } n(\vec{r}) = 0$

$$\oint n(\vec{r}) \vec{s}_0(\vec{r}) \cdot d\vec{l} = 0$$

pro homog. prostředí  $(n = \text{konst.}) \rightarrow \text{grad } n(\vec{r}) = 0$

pro homog. prostředí  $(n = \text{konst.}) \rightarrow \text{grad } n(\vec{r}) = 0$

$$\text{grad } \psi(\vec{r}) = n(\vec{r}) \vec{s}_0(\vec{r})$$

pro homog. prostředí  $(n = \text{konst.}) \rightarrow \text{grad } n(\vec{r}) = 0$

pro homog. prostředí  $(n = \text{konst.}) \rightarrow \text{grad } n(\vec{r}) = 0$

$$\text{rot } \text{grad } \psi(\vec{r}) = \text{rot } n(\vec{r}) \vec{s}_0(\vec{r})$$

pro homog. prostředí  $(n = \text{konst.}) \rightarrow \text{grad } n(\vec{r}) = 0$

pro homog. prostředí  $(n = \text{konst.}) \rightarrow \text{grad } n(\vec{r}) = 0$

$$\oint n(\vec{r}) \vec{s}_0(\vec{r}) \cdot d\vec{l} = 0$$

pro homog. prostředí  $(n = \text{konst.}) \rightarrow \text{grad } n(\vec{r}) = 0$

pro homog. prostředí  $(n = \text{konst.}) \rightarrow \text{grad } n(\vec{r}) = 0$

$$\text{grad } \psi(\vec{r}) = n(\vec{r}) \vec{s}_0(\vec{r})$$

pro homog. prostředí  $(n = \text{konst.}) \rightarrow \text{grad } n(\vec{r}) = 0$

pro homog. prostředí  $(n = \text{konst.}) \rightarrow \text{grad } n(\vec{r}) = 0$

$$\text{rot } \text{grad } \psi(\vec{r}) = \text{rot } n(\vec{r}) \vec{s}_0(\vec{r})$$

pro homog. prostředí  $(n = \text{konst.}) \rightarrow \text{grad } n(\vec{r}) = 0$

pro homog. prostředí  $(n = \text{konst.}) \rightarrow \text{grad } n(\vec{r}) = 0$

$$\oint n(\vec{r}) \vec{s}_0(\vec{r}) \cdot d\vec{l} = 0$$

pro homog. prostředí  $(n = \text{konst.}) \rightarrow \text{grad } n(\vec{r}) = 0$

pro homog. prostředí  $(n = \text{konst.}) \rightarrow \text{grad } n(\vec{r}) = 0$

$$\text{grad } \psi(\vec{r}) = n(\vec{r}) \vec{s}_0(\vec{r})$$

pro homog. prostředí  $(n = \text{konst.}) \rightarrow \text{grad } n(\vec{r}) = 0$

pro homog. prostředí  $(n = \text{konst.}) \rightarrow \text{grad } n(\vec{r}) = 0$

$$\text{rot } \text{grad } \psi(\vec{r}) = \text{rot } n(\vec{r}) \vec{s}_0(\vec{r})$$

pro homog. prostředí  $(n = \text{konst.}) \rightarrow \text{grad } n(\vec{r}) = 0$

pro homog. prostředí  $(n = \text{konst.}) \rightarrow \text{grad } n(\vec{r}) = 0$

$$\oint n(\vec{r}) \vec{s}_0(\vec{r}) \cdot d\vec{l} = 0$$

pro homog. prostředí  $(n = \text{konst.}) \rightarrow \text{grad } n(\vec{r}) = 0$

pro homog. prostředí  $(n = \text{konst.}) \rightarrow \text{grad } n(\vec{r}) = 0$

$$\text{grad } \psi(\vec{r}) = n(\vec{r}) \vec{s}_0(\vec{r})$$

pro homog. prostředí  $(n = \text{konst.}) \rightarrow \text{grad } n(\vec{r}) = 0$

pro homog. prostředí  $(n = \text{konst.}) \rightarrow \text{grad } n(\vec{r}) = 0$

$$\text{rot } \text{grad } \psi(\vec{r}) = \text{rot } n(\vec{r}) \vec{s}_0(\vec{r})$$

pro homog. prostředí  $(n = \text{konst.}) \rightarrow \text{grad } n(\vec{r}) = 0$

pro homog. prostředí  $(n = \text{konst.}) \rightarrow \text{grad } n(\vec{r}) = 0$

$$\oint n(\vec{r}) \vec{s}_0(\vec{r}) \cdot d\vec{l} = 0$$

pro homog. prostředí  $(n = \text{konst.}) \rightarrow \text{grad } n(\vec{r}) = 0$

pro homog. prostředí  $(n = \text{konst.}) \rightarrow \text{grad } n(\vec{r}) = 0$

$$\text{grad } \psi(\vec{r}) = n(\vec{r}) \vec{s}_0(\vec{r})$$

pro homog. prostředí  $(n = \text{konst.}) \rightarrow \text{grad } n(\vec{r}) = 0$

pro homog. prostředí  $(n = \text{konst.}) \rightarrow \text{grad } n(\vec{r}) = 0$

$$\text{rot } \text{grad } \psi(\vec{r}) = \text{rot } n(\vec{r}) \vec{s}_0(\vec{r})$$

pro homog. prostředí  $(n = \text{konst.}) \rightarrow \text{grad } n(\vec{r}) = 0$

pro homog. prostředí  $(n = \text{konst.}) \rightarrow \text{grad } n(\vec{r}) = 0$

$$\oint n(\vec{r}) \vec{s}_0(\vec{r}) \cdot d\vec{l} = 0$$

pro homog. prostředí  $(n = \text{konst.}) \rightarrow \text{grad } n(\vec{r}) = 0$

pro homog. prostředí  $(n = \text{konst.}) \rightarrow \text{grad } n(\vec{r}) = 0$

$$\text{grad } \psi(\vec{r}) = n(\vec{r}) \vec{s}_0(\vec{r})$$

pro homog. prostředí  $(n = \text{konst.}) \rightarrow \text{grad } n(\vec{r}) = 0$

pro homog. prostředí  $(n = \text{konst.}) \rightarrow \text{grad } n(\vec{r}) = 0$

$$\text{rot } \text{grad } \psi(\vec{r}) = \text{rot } n(\vec{r}) \vec{s}_0(\vec{r})$$

pro homog. prostředí  $(n = \text{konst.}) \rightarrow \text{grad } n(\vec{r}) = 0$

pro homog. prostředí  $(n = \text{konst.}) \rightarrow \text{grad } n(\vec{r}) = 0$

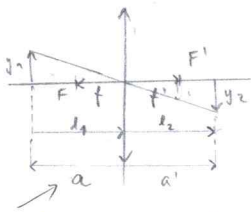
$$\oint n(\vec{r}) \vec{s}_0(\vec{r}) \cdot d\vec{l} = 0$$

pro homog. prostředí  $(n = \text{konst.}) \rightarrow \text{grad } n(\vec{r}) = 0$

# GAUSSOVA ZOBRAZOVACÍ ROVNICE

$$\frac{1}{f'} = -\frac{1}{a} + \frac{1}{a'}$$

$$\frac{1}{f'} = \frac{1}{l_1} + \frac{1}{l_2}$$



z oboujeh v. přenosové matice  
zobrazení  $y_1 \rightarrow y_2$  (z předního  
paprsky pod všemi úhly  $\theta_1$  a do  
obrazu  $y_2$  dopadají pod všemi úhly  
 $\theta_2 \Rightarrow B=0$

$$B=0 \Rightarrow -l_1 + \frac{l_1 l_2}{f'} - l_2 = 0 \Rightarrow l_1 + l_2 = \frac{l_1 l_2}{f'}$$

$$l_1 = -a \quad l_2 = a'$$

Franc má zde  $-a$  pak  
to ale není  $l_1 = -a$   $\nabla$

lehlal paprsky s udr. l. s. H. :  
Sílícíma vzdálenost  $l_2$       lom na čoce  
s  $f = -f'$       Sílícíma čoce  
sílícíma vzdálenost  $l_1$

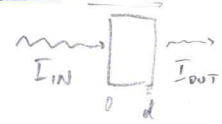
$$\vec{T} = \begin{pmatrix} 1 & -l_2 \\ 0 & 1 \end{pmatrix} \begin{pmatrix} 1 & 0 \\ \frac{1}{f'} & 1 \end{pmatrix} \begin{pmatrix} 1 & -l_1 \\ 0 & 1 \end{pmatrix} \vec{B}$$

$$= \begin{pmatrix} 1 - \frac{l_2}{f'} & -l_1 - l_2 + \frac{l_1 l_2}{f'} \\ \frac{1}{f'} & -\frac{l_1}{f'} + 1 \end{pmatrix} \vec{B}$$

8 ABSORPCE (interakce světla s látkou) světlo  $\rightarrow$  energie látky  $\Rightarrow$  vlna se tlumí (nekvantový popis) předpokládáme homog. prostředí  
 předp. látka je izotropní a její odezva na EM pole je lineární (platí princip superpozice), kolový dopad na látku

LAMBERT-BEERŮV ZÁK  $\rightarrow$  stanoven experimentálně; závislost dobře platí u vlnkové fronty s malou odrazivostí a vlnovou tloušťkou d vzhledem k  $\alpha$   
 $I \propto E_0^2 \Rightarrow$  musí klesat amplituda

$$I_{out} = I_{in} e^{-\alpha d}$$



$I_{IN}$ ... vstupní intenzita  
 $I_{OUT}$ ... výstupní intenzita  
 $d$ ... tloušťka desky  
 $\alpha(\omega)$ ... absorpční koeficient

komplexní vlnový vektor:

$$\vec{k} = \vec{k}_R + i\vec{k}_I$$

EM vlna (lin. pol. ve sm. x, šířím ve sm. z):

$$E_x(z,t) = E_{0x} e^{-k_I z} \cos(k_R z - \omega t)$$

$$\tilde{E}_x(z,t) = E_{0x} e^{i(k_R z - \omega t)}$$

$$= E_{0x} e^{i(k_R + i k_I)z} e^{-i\omega t} = E_{0x} e^{-k_I z} e^{i(k_R z - \omega t)}$$

$$\text{Re}\{\tilde{E}_x(z,t)\} = E_{0x} e^{-k_I z} \cos(k_R z - \omega t)$$

$k_R = \frac{\omega}{c} m$  ( $k_R = k$ )  $k_I$ ... koeficient popisující tlumení vlny při průchodu látkou

$$\tilde{K}_z = (\vec{k}_R)_z + i(\vec{k}_I)_z$$

$$\tilde{K}_z = \frac{\omega}{c} (m + i k) = \frac{\omega}{c} \tilde{N}$$

komplexní index lomu:

$$\tilde{N}(\omega) = m(\omega) + i k(\omega)$$

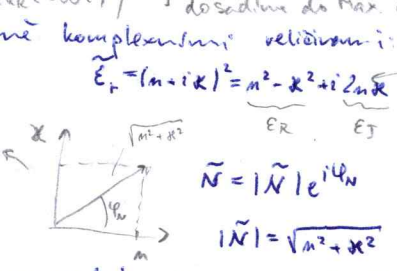
$$\tilde{N} = \sqrt{\tilde{\epsilon}_r(\omega)}$$

látka charakterizována obecně komplexními veličinami:

$$\tilde{D}_x = \epsilon_0 \tilde{\epsilon}_r \tilde{E}_x = \epsilon_0 \tilde{N}^2 \tilde{E}_x$$

$$\tilde{H}_y = \epsilon_0 c \tilde{\mu}_r \tilde{E}_x = \epsilon_0 c \tilde{N} \tilde{E}_x$$

$$\tilde{P}_x = \epsilon_0 \tilde{\chi} \tilde{E}_x = \epsilon_0 |\tilde{N}| e^{i\varphi_N}$$



$$\tilde{X}(\omega) = \chi_R(\omega) + i\chi_I(\omega)$$

$$\tilde{\epsilon}_r(\omega) = \epsilon_R(\omega) + i\epsilon_I(\omega)$$

$$\tilde{\mu}_r(\omega) = \mu_R(\omega) + i\mu_I(\omega) = 0$$

$$\left( \begin{matrix} \epsilon_R = \chi_R + 1 \\ \epsilon_I = \chi_I \end{matrix} \right) \quad \mu_I = \frac{\chi_I}{m}$$

na předpokládáme homog. prostředí  $\mu = \mu_0$

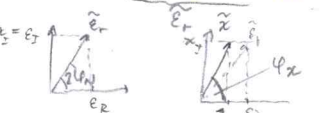
dielektrikum

$$\text{pokud } k = \frac{\omega}{c} k_I = 0$$

$\Rightarrow \varphi_N = 0 \Rightarrow \tilde{H}, \tilde{E}$  kmitají ve fázi (neabsorbující prostředí)

1)  $\tilde{H}_y = \epsilon_0 c |\tilde{N}| e^{i\varphi_N} \tilde{E}_x \Rightarrow$  magnetické pole  
 obě pole jsou fázově posunutá o úhel  $\varphi_N$

2)  $\tilde{D}_x = \epsilon_0 |\tilde{N}|^2 e^{i2\varphi_N} \tilde{E}_x \Rightarrow$  el. indukce (representující odezvu látky na budící pole  $\tilde{D} = \epsilon_0 \tilde{E} + \tilde{P}$ ) je fáz. posunutá vůči  $\tilde{E}$  o  $2\varphi_N$



3)  $\tilde{P}_x = \epsilon_0 |\tilde{\chi}| e^{i\varphi_N} \tilde{E}_x$   
 $\Rightarrow \varphi_P > 2\varphi_N$

veličiny  $\tilde{H}, \tilde{D}, \tilde{P}$  jsou v absorbujícím prostředí fáz. posunutá vůči  $\tilde{E}$ , k čemuž o jím úhel závislý na im. č. indexu  $\tilde{N}$   
 $k_I \neq 0 \Rightarrow \chi \neq 0 \Rightarrow \alpha \neq 0 \Rightarrow \varphi_N, 2\varphi_N, \varphi_P \neq 0$

$$m = \sqrt{\frac{1}{2}(\epsilon_R + \sqrt{\epsilon_R^2 + \epsilon_I^2})}$$

$$k = \sqrt{\frac{1}{2}(-\epsilon_R + \sqrt{\epsilon_R^2 + \epsilon_I^2})}$$

$$\epsilon_R = \omega^2 - \omega_p^2$$

$$\epsilon_I = 2\nu\omega$$

neabsorbující prostředí

$$k_I = 0 \Rightarrow \mu = 0 \Rightarrow \alpha = 0$$

$$\Rightarrow \varphi_N, 2\varphi_N, \varphi_P = 0$$

(limita  $\tilde{H}, \tilde{D}, \tilde{P}, \tilde{E}$  ve fázi)

$$I = \langle \vec{r} \cdot \vec{r} \rangle_T = \frac{1}{2} \text{Re}\{\tilde{E}\} \cdot \text{Re}\{\tilde{D}\} = \frac{1}{2} \cdot \frac{1}{2} \langle \tilde{E} + \tilde{E}^* \rangle_T \cdot \frac{1}{2} \langle \tilde{D} + \tilde{D}^* \rangle_T = \frac{1}{8} \langle \tilde{E} \tilde{D} \rangle_T + \langle \tilde{E}^* \tilde{D}^* \rangle_T + \langle \tilde{E} \tilde{D}^* \rangle_T + \langle \tilde{E}^* \tilde{D} \rangle_T$$

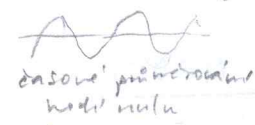
$$\tilde{E} = E_{0x} e^{-i k_I z} e^{i(k_R z - \omega t)}$$

$$\tilde{D} = \epsilon_0 (m + i k)^2 e^{-i k_I z} e^{i(k_R z - \omega t)}$$

$\tilde{E} \tilde{D}, \tilde{E} \tilde{D}^* \sim e^{-2i\omega t}$   
 $\tilde{E}^* \tilde{D}, \tilde{E}^* \tilde{D}^* \sim e^{-2i\omega t}$

$$\langle e^{-i\omega t} \rangle_T = 0$$

$$\langle e^{-2i\omega t} \rangle_T = 0$$



časová průměrování hodnot nula

$$I_{out} = \langle \vec{r} \cdot \vec{r} \rangle_T \sim e^{-\frac{2\omega}{c} k_I z}$$

v souladu s experimentem zavedeme absorpční koeficient  $(I \sim e^{-\alpha z})$

$$\alpha = \frac{2\omega}{c} k_I$$

LORENTZŮV MODEL odezva dielektrika  $\rightarrow$  představuje látku jako soubor oscilujících dipolů

el. dipoly vznikají posunem klasických a záporných nábojů z rovnovážných poloh vlivem vnějšího el. pole

posun el. dovolu vůči jádru  
 posun  $\oplus$  a  $\ominus$  částí v iontových krystalech

předpokládáme rovnoměrně rozložený dipolů  
 $N$ ... koncentrace dipolů

objemová hustota dipolového momentu:  $\vec{P} = Nq\vec{x}$

$q$ ... efektivní náboj tvořící dipol  
 $\vec{r} = (x(t), 0, 0)$   $x(t)$ ... výchylka z rovnovážné polohy

pohybová rovnice (záb. síly) (asi x. od slatky)

$$F = ma = m \frac{d^2 \vec{x}}{dt^2} = q\vec{E}(t) - m\gamma \dot{\vec{x}} - k_H \vec{x}$$

$$\vec{E} = \vec{E}_0 e^{-i\omega t}$$

$k_H \vec{x}$ ... vazební elastická síla;  $k_H$ ... Hookeova konstanta  
 $m\gamma \dot{\vec{x}}$ ... tlumivá síla;  $\gamma$ ... konstanta tlumení  $[\gamma] = s^{-1}$

přispěvek k objemové hustotě dip. momentu:  $\Delta \vec{P} = Nq\vec{x}$

$$\Delta \vec{P}(t) = \frac{Nq^2 E_0}{m} \frac{1}{\omega_0^2 - \omega^2 - i\gamma\omega}$$

$$\Rightarrow \vec{X} = \frac{Nq^2}{\epsilon_0 m} \frac{1}{\omega_0^2 - \omega^2 - i\gamma\omega}$$

výchylka  $\vec{x}$  uvažujeme jako komplexní (může dojít k fáz. posunu vůči budícímu poli)

$$m\ddot{x} + m\gamma\dot{x} + k_H x = qE_0 e^{-i\omega t}$$

$$\ddot{x} + \gamma\dot{x} + \frac{k_H}{m} x = \frac{q}{m} E_0 e^{-i\omega t}$$

řeš. hledáme ve tvaru  $\tilde{x} = \tilde{x}_0 e^{-i\omega t}$

$$[-(i\omega)^2 \tilde{x}_0 - i\omega\gamma\tilde{x}_0 + \omega_0^2 \tilde{x}_0] e^{-i\omega t} = \frac{q}{m} E_0 e^{-i\omega t}$$

$$\tilde{x}_0 = \frac{qE_0}{m} \frac{1}{\omega_0^2 - \omega^2 - i\gamma\omega}$$

ODR 2. řádu s nenulovou pr. stranou  
 ke vlně, že homog. řeš. (0) vede ke kmitům která se po dlouhém době  $t \rightarrow \infty$  utlášou

Budeme tedy uvažovat pouze nenulovou prvou stranu (s. partikulární řešení) které je stacionární

pokud tlumení nelze zanedbat ( $\gamma \neq 0$ )  $\tilde{P}(\omega), \tilde{X}(\omega), \tilde{E}(\omega)$  jsou komplexní

$$A = \frac{Nq^2}{\epsilon_0 m}$$

$$\tilde{X} = A \frac{\omega_0^2 - \omega^2}{(\omega_0^2 - \omega^2)^2 + (\gamma\omega)^2} + A \frac{i\gamma\omega}{(\omega_0^2 - \omega^2)^2 + (\gamma\omega)^2}$$

$$= \chi_R + i\chi_I$$

$$\tilde{\epsilon}_r = 1 + A \frac{\omega_0^2 - \omega^2}{(\omega_0^2 - \omega^2)^2 + (\gamma\omega)^2} + A \frac{i\gamma\omega}{(\omega_0^2 - \omega^2)^2 + (\gamma\omega)^2} = 1 + \tilde{\chi} = 1 + \chi_R + i\chi_I$$

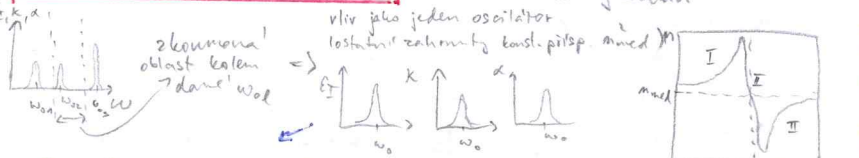
celkově: z pohybové rovnice dostaneme  $\tilde{X} = f(\omega) \Rightarrow \tilde{f}(\omega) \Rightarrow \tilde{E}_r(\omega) \Rightarrow n_1 + ik = f(\omega)$   
 v reálné látce vždy osciluje několik typů oscilátorů. V případě slabého buzení  $\rightarrow$  odezva lineární (platí princip superpozice)  
 aditivním parametrem modelu je susceptibilita  $\tilde{X}(\omega) = \sum_l \tilde{X}_l(\omega) = \sum_l \chi_{Rl}(\omega) + \sum_l \chi_{Il}(\omega)$  index lomu  $\tilde{N}$  není aditivní veličinou!

$\frac{Nq^2}{\epsilon_0 m} \rightarrow \frac{N_1 q_1^2}{\epsilon_0 m_1} = A_1 \rightarrow$  neodpovídají dobře experimentálně  
 kvantový model (jiné předpoklady)  
 téměř stejné rovnice jako Lorentzův model  
 přímnozem  $f_l$  - síla oscilátorů

$\tilde{E}_r(\omega) = 1 + \tilde{X}(\omega) = 1 + \sum_l \chi_{Rl}(\omega) + \sum_l \chi_{Il}(\omega)$   
 $\epsilon_R(\omega) = m^2 - k^2 = 1 + \sum_l \frac{N_l q_l^2}{\epsilon_0 m_l} f_l \frac{\omega_{0l}^2 - \omega^2}{(\omega_{0l}^2 - \omega^2)^2 + \gamma^2 \omega^2}$   
 $\epsilon_I(\omega) = 2nk = \sum_l A_l \frac{\gamma \omega}{(\omega_{0l}^2 - \omega^2)^2 + \gamma^2 \omega^2}$   
 $\tilde{E}_r(\omega) = 1 + \sum_{l=1}^{\infty} A_l \frac{\omega_{0l}^2 - \omega^2}{(\omega_{0l}^2 - \omega^2)^2 + \gamma^2 \omega^2} + A_{\infty} \frac{\omega_{0\infty}^2 - \omega^2}{(\omega_{0\infty}^2 - \omega^2)^2 + \gamma^2 \omega^2}$   
 $\epsilon_{R,med} = n_{med}^2$

$\rightarrow$  jednotlivé typy oscilátorů mají různ. vliv zejména v dané rezonanční frekvenci  $\omega_{0l}$   
 $\rightarrow$  zajímá-li nás pouze určitá frekvenční oblast okolo  $\omega_{0l}$   $\rightarrow$  můžeme zjednodušit zohmat vliv ostatních oscilátorů jako konst. příspěvek k  $\epsilon_R, \chi_R$

$\epsilon_R = m^2_{med} + A \frac{\omega_{0l}^2 - \omega^2}{(\omega_{0l}^2 - \omega^2)^2 + \gamma^2 \omega^2}$  (pro dané  $l \rightarrow$  klad. zkonstante tedy v okolí  $\omega_{0l}$ )  
 $\rightarrow$  index  $l$  vynechán



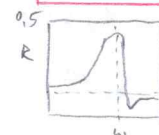
$I \omega \ll \omega_0$   
 $II \omega \gg \omega_0$   
 $III \omega \approx \omega_0$  - oblast anomální disperze (n s  $\omega$  klesá)  
 $\rightarrow$  silná oblast  $III$  tvoří s rostoucím tluměním - dochází zde k silné absorpci záření  $\rightarrow k, k$  velké

$\epsilon_I$  má max. v  $\omega_0$ , kdy dochází k max. absorpci  $\Rightarrow$  předání energie látce, zpravidla formou tepelné energie

výkonová odrazivost absorbovatelné látky  
 (uvážujeme kolmý dopad)  $\rightarrow$  dostaneme komplexní index lomu  $\tilde{N} = n + ik$   
 neabsorbující dielektrikum  $\rightarrow$  s vyjímkou tot. odrazu to jsou reálná čísla

do  $\tilde{F}_{sp}(\omega) = \tilde{F}(\omega) = \frac{1 - \tilde{N}(\omega)}{1 + \tilde{N}(\omega)} = \frac{1 - n_2(\omega) - ik_2(\omega)}{1 + n_2(\omega) + ik_2(\omega)}$   
 vedle  $n_1=1$

a výkonový koeficient  $R(\omega) = \tilde{F}(\omega) \tilde{F}^*(\omega)$



Spektrální přechod reálné části indexu lomu  $n$  je možná v určitých případech a aproximací zjednodušenými analyticky vyjádření

SELLMEYERŮV VZOREC  $n^2 = 1 + A \frac{\lambda^2}{\lambda^2 - \lambda_0^2}$

$\rightarrow$  pro téměř neabsorbující dielektrika v blízké IR a VIS oblasti v oblasti normální disperze I a zanedbatelné absorpci ( $\gamma \approx 0$ )  
 z o. rezonanční vlnová délka

pro  $\omega \ll \omega_0$ . CHAUCHYHO VZOREC  $n^2 = A' + \frac{B'}{\lambda^2} + \frac{C'}{\lambda^4} + \dots$

DRUDEHO MODEL odezva vodivého prostředí

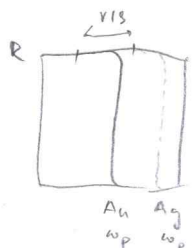
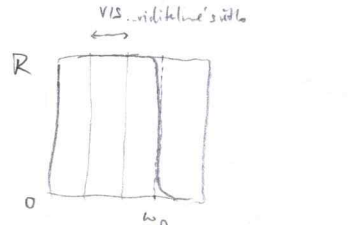
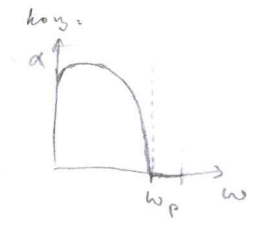
vlně pohyblivé náboje  $\rightarrow$  ionty v plynném plazmatu, nejsem vztahy k rovnovážným polohám elektronů v kovech

dostaneme  $k_H = 0, \omega_0 = 0$  do LORENTZOVA MODELU  $\equiv$  DRUDEHO MODELU

$\epsilon_r(\omega) = 1 + \frac{Nq^2}{\epsilon_0 m} \frac{1}{-i\gamma\omega - \omega^2} = 1 - \frac{\omega_p^2}{i\gamma\omega + \omega^2}$

plazmová frekvence  $\rightarrow$  charakteristická frekvence prostředí, kde uvažujeme pouze volně pohyblivé náboje  
 $\omega_p = \sqrt{\frac{Nq^2}{\epsilon_0 m}}$   
 v kovech  $\rightarrow \omega_p \in UV$   
 v polovodičích  $\rightarrow \omega_p \in IR$

$\epsilon_R = m^2 - k^2 = 1 - \frac{\omega_p^2}{\omega^2 + \gamma^2}$   
 $\epsilon_I = 2nk = \frac{\gamma \omega_p^2}{\omega^2 + \gamma^2}$   
 $\Rightarrow$  odsund  $n(\omega), k(\omega)$



vlnění ková, např. Ag - stříbrno  
 odstředil viditelné světlo jen se "bíle"

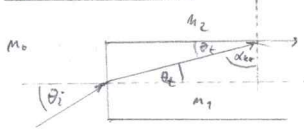
Zlato:  $\Delta\omega_p(Au)$   
 $\omega_p(Au) \sim \lambda_p = 540nm$   
 $\Rightarrow$  odstředil se jen bílé  $\omega$  jen se žlutě

nad plazmovou frekvencí vodivé prostředí EM záření propouští

z důvodu dalších mechanismů je plazmová frekvence zlata posunuta

9 ZÁKLADY VLAKNOVÉ OPTIKY → aplikace: optické obvody (mají menší ztráty než el. obvody)

optické vlákno → vede světelný signál tím, že dochází k úplnému odrazu na rozhraní vlákna a okolí



$n_1 > n_0$ ,  $n_1$ ... index lomu vlákna  
 $\theta_i$ ... úhel dopadu na povrch vlákna  
 $\theta_r$ ... úhel lomu  
 $\alpha$ ... úhel dopadu na stěnu vlákna

vlnovod musí splňovat  $\alpha > \alpha_{kr} \wedge \theta_i < \theta_{max}$  (akceptační) úhel  
 $n_1 \sin \alpha_{kr} = n_2 \sin \frac{\pi}{2}$   
 $\theta_c + \alpha = \frac{\pi}{2}$   
 $n_0 \sin \theta_i = n_1 \sin \theta_r = n_1 \sin(\frac{\pi}{2} - \alpha) = n_1 \cos \alpha$   
 $\theta_{max}: n_0 \sin \theta = n_1 \cos \alpha_{kr}$

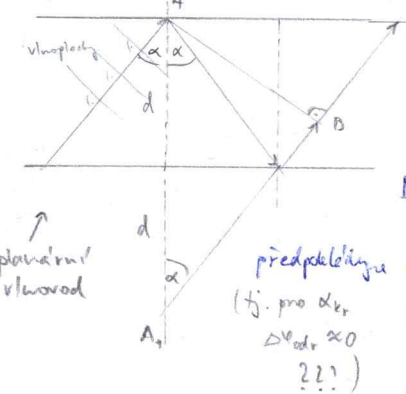
$$\sin \alpha_{kr} = \frac{n_2}{n_1}$$

$$n_0 \sin \theta_{max} = NA = \sqrt{n_1^2 - n_2^2}$$

NA... numerická apertura vlákna

→  $n_0^2 \sin^2 \theta_{max} = n_1^2 \cos^2 \alpha_{kr} = n_1^2 (1 - \sin^2 \alpha_{kr}) = n_1^2 (1 - \frac{n_2^2}{n_1^2}) = n_1^2 - n_2^2$

v opt. vlákne se bez velkých ztrát mohou šířit jen určité světelné módy



$AB = A_s B_s = 2d \cos \alpha$ ... dráha rozdílu  
 fyzický výběh světla:  $2n_1 k_0 d \cos \alpha$   
 celkový měna fáze:  $2n_1 k_0 d \cos \alpha + \Delta \varphi_{odr}$

podmínka stačování (IF podmínka)

$M$ ... max. číslo módů, které může ve vlákne existovat

předpokládáme (tj. pro  $\alpha_{kr}$   $\Delta \varphi_{odr} \approx 0$  !!)

$$2n_1 k_0 d \cos \alpha \approx 2M\pi$$

$$2n_1 \frac{2\pi}{\lambda_0} d \cos \alpha \approx 2M\pi$$

$$M \approx \frac{2n_1 d \cos \alpha_{kr}}{\lambda_0}$$

$$n_0 \sin \theta_{max} = n_1 \cos \alpha_{kr}$$

$$M \approx \frac{2nd}{\lambda_0} \frac{n_0}{n_1} \sin \theta_{max} \approx NA$$

$$M \approx \frac{2d NA}{\lambda_0}$$

celkový počet módů, které ve vlnovodu mohou existovat roste s poměrem  $\sim \frac{d}{\lambda_0}$   
 tj. i malý mód  
 (celkový počet módů je  $M+1$ )  
 $M$ ... maximální mód

útlum - parametr vlákna charakterizující ztráty v diskrétní rozptylu a absorpci

$$\text{útlum} = 10 \log_{10} \left( \frac{P_1}{P_2} \right)$$

útlum se obvykle vztahuje na délku vlákna  $1 \text{ km}$

$P_1$ ... světelný výkon na vstupu do vlákna  
 $P_2$ ... světelný výkon na výstupu z vlákna

# 10 NELINEÁRNÍ OPTIKA (Lineární optika: vlnitý charakter, fotonové latten jsou nezávislé na intenzitě světla $\vec{P} = \epsilon_0 \vec{E}$ )

lineární optika je aproximace, která platí jen pro malé intenzity světla  
 obecně vektor polarizace  $\vec{P}$  složitou funkci  $\vec{E}$  - uvažujeme zjednodušený popis, kdy  $\vec{E}$  a  $\vec{P}$  jsou lin. polarizováni ve stejném směru

$$\vec{P}_i = \epsilon_0 \left( \sum_j \chi_{ij} E_j + \sum_{j,k} \chi_{ijk} E_j E_k + \sum_{j,k,l} \chi_{ijkl} E_j E_k E_l + \dots \right)$$

$\chi_{ij}, \chi_{ijk}, \dots = \chi_{ji}, \chi_{jik}, \dots$  nepř. susceptibilita (2. řádu) ve směru x, jestliže el. pole působí ve směrech y a z  
 $E_j, E_k$  - dvě komponenty mohou patřit téže vlně (ne-rot.), ale různým vlnám (různá s. vlnová délka)

$P_L$  - lin. část       $P_{NL}$  - nelineární část  
 případ, kdy frekvence světla není v rezonanci s energ. přechody v látkách (f. nedochází k excitaci do vyšší e. stavu) => látka má okamžitou odezvu

## NELIN. OPT. JEVTY 2. ŘÁDU (v krystalech se středem symetrie => $\chi_{ijk} = 0$ => neline. opt. jevt. 2. řádu, nemohoují)

$$P_i^{(2)} = \epsilon_0 \sum_{j,k} \chi_{ijk} E_j E_k$$

$\chi^{(2)}$  - susceptibilita 2. řádu  
 $\chi_{ijk}$  - tenzor 3. řádu -> 27 komponent při zrc. os  $x \rightarrow -x$  -  $P_i^{(2)} = \epsilon_0 \sum_{j,k} \chi_{ijk} (-E_j)(-E_k)$   
 látky se středem symetrie musí mít nenulové vlastnosti

(generace 2. harmonické frekvence)  
 zdvojení frekvence - vstupní vlna vyvola v materiálu polarizaci oscilující na dvojnásobek vlny s frekvencí 2 $\omega$   
 bodový pok:  $E(t) = E_0 \cos \omega t = \frac{1}{2} E_0 [e^{i\omega t} + e^{-i\omega t}]$  - nebo místo exponenciály frekvence, ta je zohojem  $\cos \omega t = \frac{1}{2} (e^{i\omega t} + e^{-i\omega t})$

$$P^{(2)} = \epsilon_0 \chi^{(2)} E^2 = \epsilon_0 \chi^{(2)} \frac{E_0^2}{4} [e^{2i\omega t} + e^{-2i\omega t} + 2] = \frac{\epsilon_0 \chi^{(2)} E_0^2}{2} + \frac{1}{2} \epsilon_0 \chi^{(2)} E_0^2 \cos 2\omega t \sim \Delta E^{(2)}$$

přispěvek vyvolává polarizaci  $\sim \Delta E^{(2)}$

=> v materiálu vzniká polarizace 2. řádu která má 2 složky: stejnoampl. složka složená oscilující s frekvencí 2 $\omega$   
 (aby se na výstupu objevila silná vlna 2. harmonické frekvence, je nutné aby dipoly oscilovaly s fr. 2 $\omega$  v jedním místě látky konstruktivně sečítaly k). problém představuje závislost indexu lomu na frekvenci, je nutné aby dipoly oscilovaly s fr. 2 $\omega$  v jedním místě látky  
 vlna o frekvenci 2 $\omega$  -> jsou obě koherentní. Vlna o fr.  $\omega$  postupuje dále lathou a generuje další přispěvek o frekvenci 2 $\omega$ , která se musí sčítat konstruktivně (tj. musí mít odpovídající fázový vztah)

vlna 2. harm. vzniká v místě z bude mít na výstupu (bod L) z krystalu fáz. danou šířením od místa z  
 do místa L s vln. vektorem  $k_2$  tedy:  $\Delta E^{(2)}(L) = E_0^2 e^{2i(k_1 z - \omega t)} e^{i(k_2(L-z) - \omega t)}$   $\Delta E^{(2)}(L) \sim E_0^2 e^{i(2k_1 - k_2)L}$   
 celková amplituda 2. harmonických v místě L dostaneme součtem všech přispěvků  $\Delta E^{(2)}(L)$

$$E^{(2)}(L) \sim E_0^2 e^{-2i\omega t} e^{i k_2 L} \int_0^L e^{i(2k_1 - k_2)z} dz$$

$$= \frac{2iL \sin \frac{\Delta k L}{2}}{\Delta k} e^{i \frac{\Delta k L}{2}} = L \frac{\sin \frac{\Delta k L}{2}}{\frac{\Delta k L}{2}} e^{i \frac{\Delta k L}{2}}$$

$\Delta k = 2k_1 - k_2$        $\int_0^L e^{i\Delta k z} dz = \frac{1}{i\Delta k} (e^{i\Delta k L} - 1) = \frac{e^{i\frac{\Delta k L}{2}}}{i\Delta k} (e^{i\frac{\Delta k L}{2}} - e^{-i\frac{\Delta k L}{2}})$

$$\Rightarrow I \sim I_0^2 L^2 \left( \frac{\sin \frac{\Delta k L}{2}}{\frac{\Delta k L}{2}} \right)^2$$

maximum pro  $\frac{\Delta k L}{2} = 0 \Rightarrow \Delta k = 0 \Rightarrow 2k_1 = k_2$  podmínka sfázování

-> podm. sfázování je možné splnit v anizotropních krystalech  
 když se vhodně zvolí polarizace vstupujících vln  
 (vstup. dopadající vlna a šíří jako vlna 2. řádu)  
 druhá harmonická jako vlna 1. řádu  
 => krystaly pro generaci 2. harm.  $\text{LiNaO}_3, \text{KH}_2\text{PO}_4, \text{LiIO}_3$   
 v izotrop. vlnovodních s normální disperzí nelze splnit  $m(\omega) = m(2\omega)$

## NELIN. OPT. JEVTY 3. ŘÁDU (vyskytují se ve všech látkách, tj. i v látkách se středem symetrie)

$$E(t) = E_0 \cos \omega t = \frac{1}{2} E_0 (e^{i\omega t} + e^{-i\omega t})$$

$$P^{(3)} = \epsilon_0 \chi^{(3)} E^3 = \epsilon_0 \chi^{(3)} \frac{1}{8} E_0^3 (e^{3i\omega t} + e^{-3i\omega t} + 3e^{i\omega t} + 3e^{-i\omega t}) = \frac{1}{4} \epsilon_0 \chi^{(3)} E_0^3 \cos 3\omega t + \frac{3}{4} \epsilon_0 \chi^{(3)} E_0^3 \cos \omega t$$

ve směru kolmém na směr šíření (x)

důsledky intenzitní závislosti indexu lomu:  
 laserový svazek -> exponenciální Gaussův rozšíření intenzity po průchodu látkou, jestliže index lomu je dán:  
 $n = n_L + \frac{1}{2} n_L I$  -> vlna uprostřed svazku má jiný index lomu než vlna na krajích (1. ř. se opt. dráhou)

generace 3. harm. frekvence      závislost indexu lomu a absorpčního koeficientu na intenzitě světla

laserový svazek může být modulován v čase -> de-fakto vzniká prostřední rytmus sledu je index lomu intenzitní profil v čase

okamžitá frekvence světelné vlny je dána čas. derivací fáz.  $\omega = \frac{\partial \phi}{\partial t} = -\omega_0 + k_0 \frac{\partial n}{\partial t}$

modulace fáz.  $\omega = \omega_0 - k_0 \frac{\partial n}{\partial t}$

lineární část      nelineární část  
 -> uprostřed svazku se šíří vlna pomaleji (větší index lomu) než na krajích -> prostřední přisobí jakýs spojovací článek = samo fokussace

# ANIZOTROPNÍ PROSTŘEDÍ (neabsorbující prostředí) - lineární dvojloam (pro izotropní prostředí $\vec{P} = \epsilon_0 \vec{E}$ )

převládá homogenní, lineární, neabsorbující prostředí bez kulového dvojloam, nemagnetické  $\vec{B} = \mu_0 \vec{H}$   
 vektor polarizace:  $\vec{P} = \epsilon_0 \vec{\chi} \vec{E}$  (additivní odezva materiálu ve složkách  $P_i = \sum_{j=x,y,z} \chi_{ij} E_j$  z Poyntingova teorému lze ukázat, že pro neabsorbující prostředí bez optické aktivity (tj. bez kulového dvojloam) je  $\vec{\chi}$  reálný a symetrický  $\Rightarrow$  lze ho diagonalizovat  
 $\vec{D} = \epsilon_0 \vec{E} + \vec{P} = \epsilon_0 \vec{E}$   
 $\vec{E} \dots$  tenzor susceptibility  
 $\vec{E} \dots$  tenzor permittivity

předp. rovinná homogenní eling. vlna s vlnovým vektorem  $\vec{k} = \frac{\omega}{c} n \vec{S}_0$  kolmým ke vlnovému vektoru  $\vec{E} = E_0 \vec{e}_x e^{i(kz - \omega t)}$  (jednot. ve směru vlnoplochy (tj. konst. fáze)  
 lathra reaguje na působení vlny obklopené (vedoucí k fázi, jed. út. ve směru vlnoplochy (tj. konst. fáze)  
 posunu čas. průběhu vektoru polarizace  $\vec{P}(t)$  vůči vlně  $\vec{E}(t)$   $\Rightarrow$  potom vznikne proud  
 z Max-wellie fyziky:  
 $\text{div } \vec{D} = 0 \Rightarrow \vec{k} \perp \vec{D}$   
 $\text{div } \vec{B} = 0 \Rightarrow \vec{k} \perp \vec{B}, \vec{k} \perp \vec{H}$   
 $\text{rot } \vec{E} = -\frac{\partial \vec{D}}{\partial t} \Rightarrow \vec{E} \perp \vec{B}$   
 $\text{rot } \vec{H} = \frac{\partial \vec{D}}{\partial t} \Rightarrow \vec{H} \perp \vec{D}, \vec{k} \perp \vec{D}$   
 obě v anizotropních křivkách nemusejí být vektory  $\vec{E}$  a  $\vec{P}$  paralelní, ale ve spec. případy  $\vec{E} \perp \vec{D}$   
 $\vec{k} \times \vec{E} = \omega \vec{B}$   
 $\vec{k} \times \vec{H} = -\omega \vec{D}$   
 $\frac{\partial E_x}{\partial y} - \frac{\partial E_y}{\partial x} = -\frac{\partial D_x}{\partial t}$   
 $\Rightarrow$  celkové  $\vec{B}$  (tedy  $\vec{H}$ )  $\perp \vec{E}, \vec{D}, \vec{k}$  takže  $\vec{k} \perp \vec{D}$  ale ne obecně  $\vec{k} \perp \vec{E}$   
 v důsledku  $\vec{E} \neq \vec{D}$  se energie šíří v jiném směru než vlnoplochy  
 $\vec{S} = \vec{E} \times \vec{H} = \vec{S}_0$   
 $\vec{S}_0$  - směr šíření vlnoplochy  
 $\vec{E}_0$  - směr šíření energie

## FRESNELOVA ROVNICE

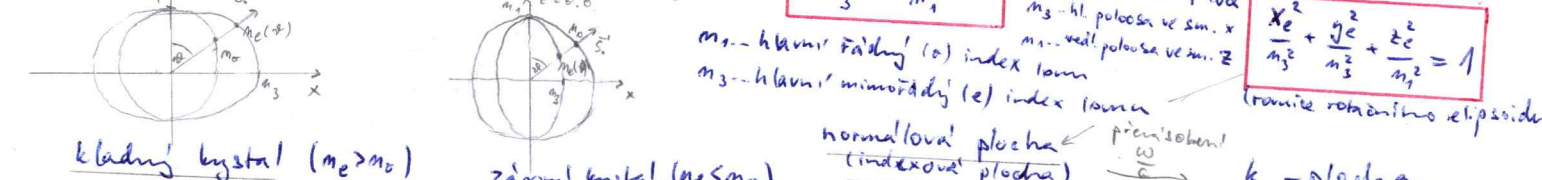
$$\frac{1}{n^2} = \frac{S_{0x}^2}{n_x^2} + \frac{S_{0y}^2}{n_y^2} + \frac{S_{0z}^2}{n_z^2}$$

$(n^2 - n_x^2) E_x = m^2 S_{0x} (\vec{S}_0 \cdot \vec{E})$  /  $S_{0x}$   
 (1)  $S_{0x} E_x = \frac{m^2}{n^2 - n_x^2} S_{0x} (\vec{S}_0 \cdot \vec{E})$   
 (2)  $S_{0y} E_y = \frac{m^2}{n^2 - n_y^2} S_{0y} (\vec{S}_0 \cdot \vec{E})$   
 (3)  $S_{0z} E_z = \frac{m^2}{n^2 - n_z^2} S_{0z} (\vec{S}_0 \cdot \vec{E})$   
 (4)  $\vec{S}_0 \cdot \vec{E} = m^2 \left( \frac{S_{0x}^2}{n^2 - n_x^2} + \frac{S_{0y}^2}{n^2 - n_y^2} + \frac{S_{0z}^2}{n^2 - n_z^2} \right) (\vec{S}_0 \cdot \vec{E})$   
 $\vec{k} \times (\vec{k} \cdot \vec{E}) - k^2 \vec{E} = -\frac{\omega^2}{c^2} \vec{\epsilon} \vec{E}$   
 $\frac{\omega^2}{c^2} m^2 S_{0x} (\vec{S}_0 \cdot \vec{E}) - \frac{\omega^2}{c^2} m^2 E_x = -\frac{\omega^2}{c^2} m_x^2 E_x$   
 $k_x (k_x E_x + k_y E_y + k_z E_z) - k_x^2 E_x - k_y^2 E_y - k_z^2 E_z = -\omega^2 \epsilon_0 \mu_0 E_x = -\frac{D_x}{E_x}$   
 $\frac{\partial H_z}{\partial y} - \frac{\partial H_y}{\partial z} = \frac{i}{\mu_0 \omega} (k_y E_z - k_z E_y - k_x^2 E_x - k_y^2 E_y - k_z^2 E_z) = -i \omega \epsilon_0 \mu_0 E_x = -\frac{D_x}{E_x}$   
 $H_y = \frac{1}{\mu_0 \omega} (k_z E_x - k_x E_z)$   
 $H_z = \frac{1}{\mu_0 \omega} (k_y E_x - k_x E_y)$   
 $\vec{E} = m_x^2 \vec{e}_x, \vec{E}_y = m_y^2 \vec{e}_y, \vec{E}_z = m_z^2 \vec{e}_z$   
 $(\epsilon_T = n^2)$

Fresnelova rovnice určuje index lomu  $n$ , se kterým ve širší rovinná vlna s obecně orientovaným vln. vekt.  $\vec{k}$  ( $\vec{S}_0$ ) anizotropním prostředím  
 $n_1 \neq n_2 \neq n_3 \dots$  dvojosé materiály  $\rightarrow$  2 optické osy  $\Rightarrow$  popis výrazně složitější (budeme se dále zabývat pouze  $\rightarrow$ )  
 $n_1 = n_2 \neq n_3 \dots$  jednoosé materiály  $\rightarrow$  1 optická osa  
 $n_1 = n_2 = n_3 \dots$  izotropní prostředí

optická osa = směr, ve kterém mají všechny lineární polarizace stejnou rychlost (fázovou)  
 pro jednoosé materiály označíme:  
 $a = n_1^2 - n^2$   
 $b = n_3^2 - n^2$   
 $a [a^2 + n^2 (a^2 S_{0x}^2 + b^2 S_{0y}^2 + c^2 S_{0z}^2)] = 0$   
 $\rightarrow$  2 řešení: 1)  $a=0 \Rightarrow n^2 = n_1^2 \Rightarrow n = n_1 = n_0 \dots$  řídí (ordinarius)  
 2)  $a \neq 0 \dots$  mimořádný (extraordinarius)  $\dots$  již  $n$  závisí

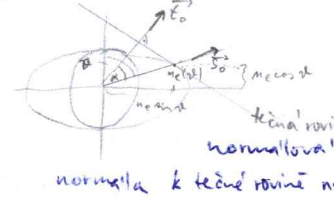
$z=0,0$   
 $\vec{S}_0 = (\sin\theta, 0, \cos\theta)$   
 $a b + n^2 (a^2 S_{0x}^2 + b^2 S_{0y}^2 + c^2 S_{0z}^2) = 0$   
 $a b + n^2 (a^2 \sin^2\theta + b^2 \cos^2\theta) = 0$   
 $(n_1^2 - n^2)(n_3^2 - n^2) + (n_1^2 - n^2) n^2 \cos^2\theta + (n_3^2 - n^2) n^2 \sin^2\theta = 0$   
 $\frac{1}{n^2} = \frac{\cos^2\theta}{n_1^2} + \frac{\sin^2\theta}{n_3^2} \rightarrow 1 = \frac{n_1^2 \cos^2\theta}{n^2} + \frac{n_3^2 \sin^2\theta}{n^2} \Rightarrow X_e = n_1 \sin\theta, Z_e = n_3 \cos\theta$   
 $\frac{X_e^2}{n_1^2} + \frac{Z_e^2}{n_3^2} = 1$   
 $\rightarrow$  elipsa v osevej poloze  
 $n_1$  - hl. poloosa ve sm. x  
 $n_3$  - hl. poloosa ve sm. z  
 $n_1$  - hlavní řádný (o) index lomu  
 $n_3$  - hlavní mimořádný (e) index lomu  
 hlavní osy symetrie:  
 $\frac{X_e^2}{n_1^2} + \frac{Y_e^2}{n_3^2} + \frac{Z_e^2}{n_3^2} = 1$   
 rovnice rotačního elipsoidu



kladný kryštál ( $n_e > n_o$ )  
 záporný kryštál ( $n_e < n_o$ )  
 polarizace řádné a mimořádné vlny  $\rightarrow$  dosadíme řešení do Fresnelových rovnic  
 1) řádná vlna  $n_o = n_1, \vec{S}_0 = (\sin\theta, 0, \cos\theta)$   
 (1)  $(n_1^2 - n^2) E_x = n_1^2 \sin\theta (E_x \sin\theta + E_z \cos\theta) = 0 \Rightarrow E_x \sin\theta + E_z \cos\theta = 0$   
 (2)  $(n_1^2 - n^2) E_y = 0 \Rightarrow E_y = 0$   
 (3)  $(n_1^2 - n^2) E_z = n_1^2 \cos\theta (E_x \sin\theta + E_z \cos\theta) \Rightarrow E_z = 0$   
 $\Rightarrow \vec{E}_0 = (0, E_y, 0) \perp$  rovina hlavního řezu (= rovinná danou opt. osou a směrem šíření (rov. xz))  
 2)  $E_x \sin\theta + E_z \cos\theta = 0$  pro druhý směr  $\theta$   $\Rightarrow$   $E_x = -n_1^2 \cos\theta, E_z = n_1^2 \sin\theta$   
 tj. vlna lineárně polarizovaná  
 $\Rightarrow \vec{E}_0 \perp \vec{E}_e$   
 normalová plocha (indexová plocha)  $\leftarrow$  působení  $\frac{\omega}{c}$   
 $\rightarrow$  k - plocha  
 $\rightarrow$  výsledná kulová/elipsoidální plocha  
 2) mimořádná vlna  $n = n_e$   
 (1)  $(n_e^2 - n^2) E_x = n_e^2 \sin\theta (E_x \sin\theta + E_z \cos\theta)$   
 (2)  $(n_e^2 - n^2) E_y = 0 \Rightarrow E_y = 0$   
 (3)  $(n_e^2 - n^2) E_z = n_e^2 \cos\theta (E_x \sin\theta + E_z \cos\theta)$   
 $\Rightarrow E_z = 0$   
 $\Rightarrow \vec{E}_0$  kmitá v rovině xy (tj. rovině hl. řezu)  
 $\Rightarrow$  tato lin. pol. vlna

energie usměrněná vlnou se šíří ve směru rychlosti vlny  $S = vE_0 \rightarrow$  rádná vlna  $S \parallel S_0$ , mimorádná svírají úhel  $\alpha$  s  $S_0$ .  
 $N_r = \frac{N_f}{\cos \alpha}$  energie vlny  
 $N_f = \text{fr. vln. m. vlny}$

$z = 0, \rho: \vec{D} = (\epsilon_x \vec{e}_x + \epsilon_y \vec{e}_y + \epsilon_z \vec{e}_z)$   
 $D_x = \epsilon_0 \epsilon_x E_x \quad A_y \beta = \frac{\epsilon_y}{\epsilon_x}$   
 $D_z = \epsilon_0 \epsilon_z E_z \quad A_y \beta = \frac{D_z}{D_x}$   
 $\frac{D_z}{D_x} = \frac{m_3^2}{m_1^2} \frac{E_z}{E_x} \Rightarrow A_y \beta = \frac{m_3^2}{m_1^2} A_y \beta$   
 $\alpha = \theta - \beta$

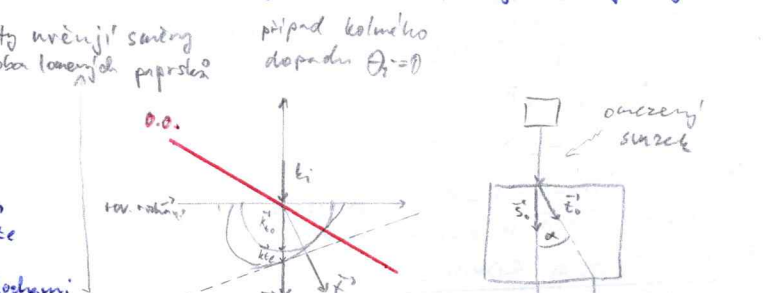
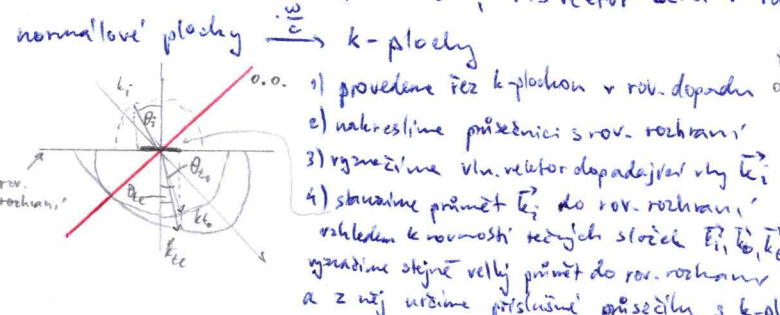


směr šíření energie  $\vec{E}_0$  je určen normálově k tečné rovině normálově plochy  
 normálově plochy  $F(x,y,z) = 0$  - robním elipsoid  
 normála k tečné rovině normálově plochy:  $\vec{N}(x,y,z) = \left( \frac{\partial F}{\partial x}, \frac{\partial F}{\partial y}, \frac{\partial F}{\partial z} \right)_{x,y,z}$   
 $\sqrt{\left(\frac{\partial F}{\partial x}\right)^2 + \left(\frac{\partial F}{\partial y}\right)^2 + \left(\frac{\partial F}{\partial z}\right)^2}$

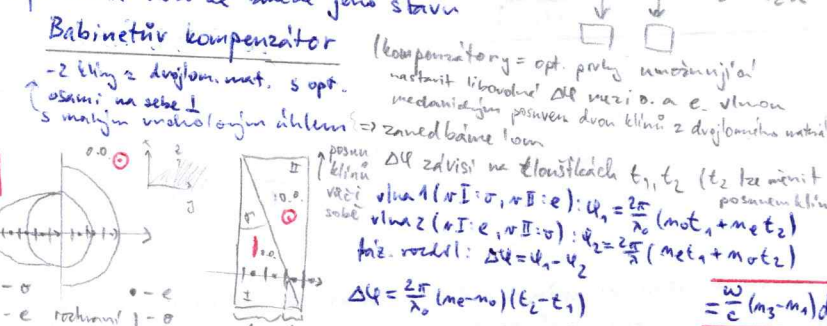
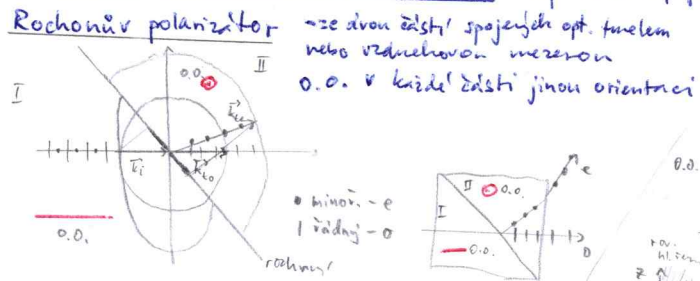
Loupa na rozhraní s anizotropním jednosměrným prostředí  $\rightarrow$  dopadající vlna  $\vec{k}_i$  se rozdělí na dvě lomené vlny  $\vec{k}_e, \vec{k}_o$

platí zákon lomu:  $m_i \sin \theta_i = m_o \sin \theta_o$  (rádná vlna)  
 $m_i \sin \theta_i = m_e (\text{ne}) \sin \theta_{ee}$  (mimorádná vlna)  $\theta = f(\theta_{ee})$  + Fresnelova rovnice  $\vec{k}_{ee} \dots m_e(\theta_{ee})$

spojitost fází el. pole dopadající a lomené vlny podmínka návaznosti vlnoploch  $\rightarrow$  spojitá při odvození zák. lomu)  
 $(\vec{k}_o - \vec{k}_i) \cdot \vec{r} = (\vec{k}_{ee} - \vec{k}_i) \cdot \vec{r} = 0$ ,  $\vec{r}$  - vektor ležící v rov. rozhraní  $\rightarrow$  tečné složky vln. vekt.  $\vec{k}_i, \vec{k}_o, \vec{k}_{ee}$  jsou tedy stejné



**POUŽITÍ DVOJLOMŇCH LAŤEK**  $\rightarrow$  pravidla k přípravě pol. světla nebo ke změně jeho stavu

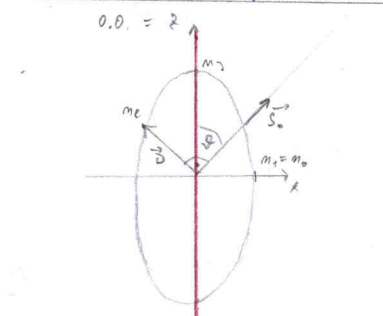


**Fázová destička** - umění pol. stav světla

o.o. rovnoběžná se vstupní plochou (2 kolmé lin. pol. rovny rychlosti v různých směrech)  $\rightarrow$  fáz. posuv  $\Delta\phi = \phi_e - \phi_o = (k_e - k_o)d = \frac{2\pi}{\lambda_0} (m_e - m_o)d$   
 světlo dopadá na fáz. destičku kolmo (nedochází ke lomu) a obě vlny se šíří stejným směrem a jelikož dopadají kolmo i ve opt. osu nedojde k jejich prostorovému oddělení  $\rightarrow$  opět se složí v jednu vlnu se změněným pol. stavem  
 $\frac{\lambda}{4}$  destička  $\rightarrow \Delta\phi = \frac{\pi}{2}$   $\Delta\phi = \frac{2\pi}{\lambda} \cdot \frac{\lambda}{4} = \frac{\pi}{2}$   
 $\frac{\lambda}{2}$  destička  $\rightarrow \Delta\phi = \pi$   $\Delta\phi = \frac{2\pi}{\lambda} \cdot \frac{\lambda}{2} = \pi$

**OPTICKÁ INDIKATRIX** - alternativní popis šíření světla v anizotrop. pr. pomocí indexového elipsoidu (indikatrix)

normálově (indexová) plocha - vyjadřuje velikost indexu lomu nebo k-plocha velikost vektoru  $\vec{k}$  daném jedn. vektorem  $\vec{S}_0$   
 indexový elipsoid (optická indikatrix) - vyjadřuje závislost indexu lomu na směrem vektoru elektrického indukce  $\vec{D}$  ( $\vec{D} \perp \vec{k}$ )



$w_e = \frac{1}{2} \vec{E} \cdot \vec{D} = \frac{1}{2} (\epsilon_x D_x + \epsilon_y D_y + \epsilon_z D_z) = \frac{1}{2\epsilon_0} \left( \frac{D_x^2}{\epsilon_x} + \frac{D_y^2}{\epsilon_y} + \frac{D_z^2}{\epsilon_z} \right)$   
 $\frac{D_x^2}{m_1^2} + \frac{D_y^2}{m_2^2} + \frac{D_z^2}{m_3^2} = 2\epsilon_0 w_e$   
 normálově plocha:  $\vec{D} \perp \vec{k}$   
 $\frac{D_x^2}{m_1^2} + \frac{D_y^2}{m_2^2} + \frac{D_z^2}{m_3^2} = 1$

normálově plocha: rádná vlna  $\rightarrow$  koule  
 mimor. vlna  $\rightarrow$  elipsoid  
 Indikatrix je elipsoid poskytující informaci zároveň o rádné i mimorádné vlně  
 $\rightarrow$  je optický elipsoid normálově plochy natočen o  $90^\circ$